arXiv:math/0106130v3 [math.AG] 2 Sep 2002

To appear in Advances in Maths.

Singularités génériques et quasi-résolutions des variétés de Schubert pour le groupe linéaire

Aurélie Cortez

28 juin 2002

Abstract

We determine explicitly the irreducible components of the singular locus of any Schubert variety for $GL_n(\mathbb{K})$, $\mathbb{K}$ being an algebraically closed field of arbitrary characteristic. We also describe the generic singularities along each of them.

The case of covexillary Schubert varieties was solved in an earlier work of the author [Ann. Inst. Fourier **51** 2 (2001), 375-393]. Here, we first exhibit some irreducible components of the singular locus of X_w, by describing the generic singularity along each of them. Let Σ_w be the union of these components. As mentioned above, the equality $\Sigma_w = \text{ Sing } X_w$ is known for covexillary varieties, and we base our proof of the general case on this result. More precisely, we study the exceptional locus of certain quasi-resolutions of a non-covexillary Schubert variety X_w, and we relate the intersection of these loci to Σ_w. Then, by induction on the dimension, we can establish the equality.

Aurélie Cortez
Département de mathématiques
Institut Galilée
Université Paris 13
99 avenue J.B. Clément
93430 Villetaneuse
France
e-mail : cortez@math.univ-paris13.fr

*Mots-Clés : Schubert varieties, singular loci, generic singularities.
*Classification Math. : 14M15, 20F55.

Introduction

L'objet de ce travail est, à la suite de [5], de décrire explicitement les composantes irréductibles du lieu singulier d'une variété de Schubert arbitraire pour $GL_n(\mathbb{K})$, ainsi que la singularité le long de chacune d'entre elles. Signalons dès maintenant que des résultats analogues ont été obtenus de façon concomitante, par des méthodes complètement différentes, par L. Manivel d'une part, S. Billey et G. Warrington d'autre part, et enfin C. Kassel, A. Lascoux et C. Reutenauer (voir à la fin de cette introduction).

Notons $G = GL_n(\mathbb{K})$, et B le sous-groupe formé des matrices triangulaires supérieures. Les variétés de Schubert dans G/B sont paramétrées par le groupe symétrique d'ordre n, noté $\mathfrak{S}_n$. Pour $w \in \mathfrak{S}_n$, on note e_w le point wB de G/B, $C_w = Be_w$ la cellule de Schubert, et $X_w = \overline{C_w}$ la variété de Schubert associés. Le lieu singulier d'une variété de Schubert est une réunion de variétés de Schubert ; si $X_v \subseteq X_w$, le point e_v a un voisinage ouvert dans X_w qui se décompose comme le produit $C_v \times \mathcal{N}_{v,w}$, pour une certaine variété $\mathcal{N}_{v,w}$ appelée transversale. On a alors le fait suivant, sur lequel repose notre démarche : X_v est une composante irréductible du lieu singulier Sing X_w si et seulement si la transversale $\mathcal{N}_{v,w}$ a un unique point singulier. L'étude des transversales permet ainsi, du même coup, d'identifier des composantes du lieu singulier, et de décrire la singularité.

Voici un aperçu des résultats obtenus. D'après [16], la variété de Schubert X_w associée à la permutation w de $\mathfrak{S}_n$ est singulière si et seulement s'il existe des entiers $a < b < c < d$ dans $[1, n]$ vérifiant : $w(d) < w(b) < w(c) < w(a)$ – on dira que ces entiers forment une configuration (4231) de w – ou bien $w(c) < w(d) < w(a) < w(b)$ – configuration (3412). On démontre que les composantes irréductibles de Sing X_w, sont paramétrées par des configurations de points du graphe de la permutation w, qui sont des raffinements des notions précédentes. Plus précisément, on appelle *configuration I* de w un ensemble de points du graphe de w,

$$\mathcal{I} = \{(x_\infty, y_\infty),\ (x_{-\infty}, y_{-\infty})\} \cup \{(x_i, y_i),\ i \in [-t, -1] \cup [1, s]\},$$

avec $s,\ t \geq 0$, comme représenté sur le premier diagramme, tel que la zone hachurée ne contienne aucun point du graphe. On associe à une telle configuration une permutation $\tau(\mathcal{I})$ en faisant agir un cycle sur ses points, comme représenté sur le deuxième diagramme (les points du graphe de $\tau(\mathcal{I})$ sont représentés par les $\times$).

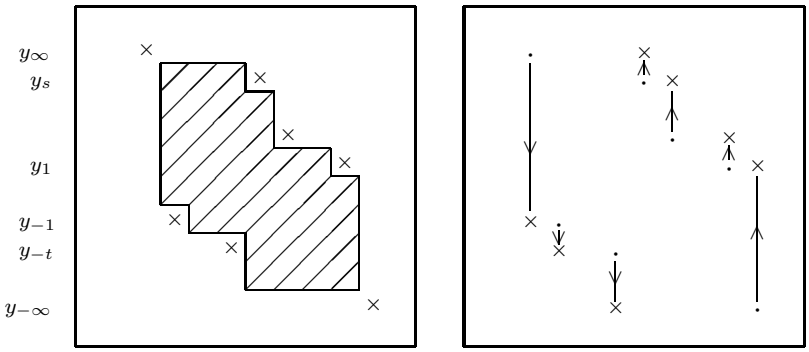

configuration I permutation τ associée

On définit aussi les *configurations II* comme des ensembles de points du graphe

$$\mathcal{II} = \{(a, w(a)), (b, w(b)), (c, w(c)), (d, w(d))\} \cup \\ \{(c_i, d_i), i \in [1, r]\} \cup \{(x_i, y_i),\ i \in [-t, -1] \cup [1, s]\}\,,$$

avec $r, s, t \geq 0$, comme représenté sur le premier diagramme ci-dessous, tel que la zone hachurée ne contienne pas d'autre point du graphe de w que les (c_i, d_i), et que ceux-ci soient en position relative Nord-Ouest/Sud-Est. On associe à une telle configuration une permutation $\sigma(\mathcal{II})$ en faisant agir un cycle sur ses points, comme représenté sur le deuxième diagramme.

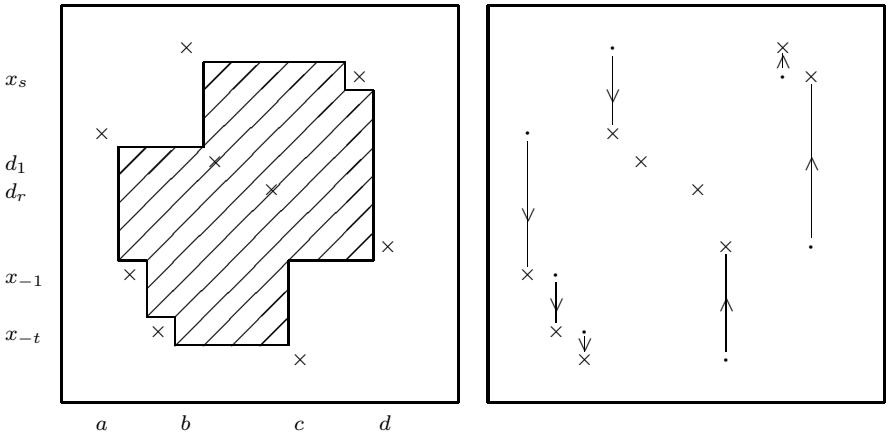

configuration II permutation σ associée

On démontre le

Théorème principal. *Les composantes irréductibles du lieu singulier de X_w sont les $X_{\tau(\mathcal{I})}$ associées aux configurations I de paramètres $s, t \geq 1$, et les*

$X_{\sigma(\mathrm{II})}$ associées aux configurations II de paramètres r, s, t tels que $r = 0$ ou $s = t = 0$.

La transversale en une composante $X_{\tau(\mathrm{I})}$ est isomorphe à la variété des matrices de taille $(s+1, t+1)$ et de rang au plus 1 ; pour une composante $X_{\sigma(\mathrm{II})}$ telle que $r = 0$, la transversale est isomorphe à la variété des matrices de taille $(s+t+2, 2)$ et de rang au plus 1 ; enfin, pour une composante $X_{\sigma(\mathrm{II})}$ telle que $s = t = 0$, la transversale est un cône quadratique non-dégénéré de dimension $2r + 3$.

On établit ce résultat par une méthode géométrique, poursuivant le travail accompli dans [5]. On montre dans un premier temps que les $X_{\tau(\mathrm{I})}$ et les $X_{\sigma(\mathrm{II})}$ de l'énoncé sont des composantes irréductibles du lieu singulier, en étudiant les transversales (section 3). Notons Σ_w la réunion de ces composantes. Dans [5], on a montré que $\Sigma_w = \mathrm{Sing}\ X_w$ lorsque w est covexillaire – c'est-à-dire ne contient pas de configuration (3412) – en construisant une résolution de X_w qui induit un isomorphisme au-dessus du complémentaire de Σ_w. Dans le cas général, on construit cette fois des "quasi-résolutions" de X_w, c'est-à-dire des variétés, éventuellement singulières, qui se projettent birationnellement sur X_w. On décrit les lieux exceptionnels de ces quasi-résolutions, puis on les relie au lieu singulier de X_w (section 4). Cela permet finalement d'établir l'égalité cherchée par récurrence sur la dimension de X_w (section 5). A la suite de ce résultat, on obtient, pour chaque composante irréductible X_v de $\mathrm{Sing}\ X_w$, le polynôme de Kazhdan-Lusztig $P_{v,w}$, ainsi que la multiplicité de X_w en e_v.

Par ailleurs, on établit au passage un résultat supplémentaire, de nature plus combinatoire ; rappelons que les variétés de Schubert sont des sous-variétés de la variété des drapeaux définies par des relations d'incidence. Dans [5], on a montré que lorsque w est covexillaire, les composantes irréductibles de $\mathrm{Sing}\ X_w$ sont des sous-variétés définies par le renforcement d'une relation d'incidence. On s'est intéressé dans le cas général à ce type de sous-variétés ; il s'avère qu'elles ne sont pas nécessairement irréductibles, et l'on donne la description de leurs composantes irréductibles. Cela est fait dans la section 2, la première section rassemblant les notations et certains rappels. Les résultats démontrés dans cet article ont été annoncés dans [6].

A partir de la description de l'espace tangent obtenue par V. Lakshmibai et C. S. Seshadri ([17]) et par K. Ryan ([26]), des résultats concernant le lieu singulier d'une variété de Schubert ont été obtenus, par des méthodes combinatoires, dans une période récente. D'abord, V. Gasharov a établi dans [10] une direction de la conjecture de Lakshmibai-Sandhya formulée dans [16], en

étudiant la variation de la dimension des espaces tangents. Plus récemment, et de manière concomitante à notre travail, la description des composantes irréductibles du lieu singulier a été obtenue, presque simultanément, par L. Manivel ([20]) d'une part, S. Billey et G. Warrington ([2]) d'autre part, et enfin C. Kassel, A. Lascoux et C. Reutenauer ([12]), également par une étude combinatoire de la variation de la dimension des espaces tangents. Suite à cela, Manivel a également donné la description des singularités génériques ([21]). Soulignons néanmoins que l'approche géométrique développée ici apporte un éclairage nouveau et permet sans doute une compréhension plus profonde. On peut d'ailleurs raisonnablement espérer que l'introduction des quasi-résolutions ait des applications, concernant par exemple le calcul des polynômes de Kazhdan-Lusztig pour une permutation arbitraire. Par ailleurs, on peut penser qu'une partie des méthodes introduites ici puisse se généraliser au cas des autres groupes semi-simples, alors qu'une difficulté se présente immédiatement pour l'approche combinatoire, puisque l'on ne dispose pas, pour les autres groupes, d'une description de l'espace tangent aussi maniable que dans le cas du groupe linéaire.

Je tiens à remercier mon directeur de thèse, P. Polo, pour le soutien constant qu'il m'a apporté durant l'élaboration de ce travail. Je remercie aussi le rapporteur pour une suggestion qui a permis d'alléger la preuve du théorème 2.4.

1 Notations et rappels

$\mathbb{K}$ est un corps algébriquement clos de caractéristique arbitraire, $G = GL_n(\mathbb{K})$, B est le sous-groupe de Borel des matrices triangulaires supérieures, U (resp. U^-) est le groupe des matrices triangulaires supérieures (resp. inférieures) unipotentes, T est le tore maximal des matrices diagonales.

Pour $w \in \mathfrak{S}_n$, on note e_w le point wB de G/B, $C_w = Be_w$ la cellule de Schubert, et $X_w = \overline{C_w}$ la variété de Schubert associés. On note $\ell(w)$ le nombre d'inversions de w ; on rappelle que l'on a $\ell(w) = \dim X_w$. On désigne par Γ_w le graphe de w.

On note $\mathbb{K}^\bullet = \mathbb{K}^1 \subset \cdots \subset \mathbb{K}^n$ le drapeau standard dans G/B, correspondant au sous-groupe de Borel B. Pour $g \in G$, on note $g\mathbb{K}^\bullet$ le drapeau associé.

Tous les intervalles considérés ici sont des intervalles de nombres entiers. Si i et j sont deux entiers distincts de $[1, n]$, on note (i, j) la transposition de

support $\{i,j\}$, et pour $i \leq n-1$, on note s_i la transposition simple $(i, i+1)$. Si $I \subseteq [1, n-1]$, on note P_I le sous-groupe parabolique contenant B associé, et $\mathfrak{S}_I$ le sous-groupe parabolique de $\mathfrak{S}_n$ correspondant. On note ${}^I\mathfrak{S}_{min}$ (resp. ${}^I\mathfrak{S}_{max}$) l'ensemble des représentants minimaux (resp. maximaux) des classes à droite de $\mathfrak{S}_n$ modulo $\mathfrak{S}_I$.

On rappelle le lemme suivant, qui se vérifie aisément en recensant les inversions de v et v'.

Lemme 1.1. *Si $v' = (i,j)\,v$ avec $i < j$ et $v^{-1}(i) > v^{-1}(j)$, on a*

$$\ell(v') = \ell(v) - 1 - 2\#\{i < k < j \mid v^{-1}(j) < v^{-1}(k) < v^{-1}(i)\}.$$

L'inclusion des variétés de Schubert induit l'ordre de Bruhat-Chevalley sur le groupe symétrique : pour $v, w \in \mathfrak{S}_n,\ v \leq w \iff X_v \subseteq X_w$.

1.1 Singularités génériques

Les composantes irréductibles du lieu singulier de la variété de Schubert X_w sont données par les permutations maximales v telles que le point e_v soit un point singulier de X_w.

Etant donné $v \leq w$, l'ensemble $v(U^-)e_v \cap X_w$ est le voisinage standard de e_v dans X_w. D'après la décomposition de Bruhat, il est isomorphe au produit $C_v \times \mathcal{N}_{v,w}$ où $\mathcal{N}_{v,w} = [v(U^-) \cap U^-]e_v \cap X_w$ (*cf.* [13], Lemma A4). On appelle $\mathcal{N}_{v,w}$ la transversale à C_v dans X_w. La cellule de Schubert C_v étant un espace affine, on a en fait : X_v est une composante irréductible du lieu singulier de X_w si et seulement si $\mathcal{N}_{v,w}$ a e_v pour unique point singulier. Ce sont les singularités génériques que l'on va décrire.

Les situations connues jusqu'ici (*cf.* [3], 3.3 et 4.6, voir aussi [4]) suggèrent de définir les deux types de singularité suivants. Soit X_v une composante irréductible du lieu singulier de X_w ; on dira qu'elle est de type S_1 s'il existe des entiers s et t ($s, t \geq 2$) tels que $\mathcal{N}_{v,w}$ soit isomorphe à la variété $\mathcal{C}_{s,t}$ des matrices de taille (s,t) et de rang au plus 1, et l'on dira que X_v est de type S_2 si $\mathcal{N}_{v,w}$ est isomorphe à un cône quadratique non dégénéré de dimension au moins 5. Remarquons que dans le second cas, l'anneau local de $\mathcal{N}_{v,w}$ en e_v est factoriel (*cf.* [23], III.7, Example J) alors qu'il ne l'est pas dans le premier (ceci peut se déduire de [23], III.9, Prop. 1, en considérant la résolution $Z = \{(\mathcal{D}, u) \mid \mathcal{D} \in \mathbb{P}^{s-1}, u : \mathbb{K}^t \longrightarrow \mathcal{D}\}$ de $\mathcal{C}_{s,t}$).

1.2 Ordre de Bruhat-Chevalley

L'ordre de Bruhat-Chevalley sur $\mathfrak{S}_n$ peut être décrit en termes de clef d'une permutation (*cf.* [19], Prop. 2.1.11). Cette description permet de démontrer le lemme suivant. Si v et w sont deux permutations de $\{1, \ldots, n\}$ qui coïncident sur k places, elles définissent naturellement des permutations $\tilde{v}$ et $\tilde{w}$ de $\{1, \ldots, n-k\}$ comme suit : soient $i_1 < \cdots < i_k$ dans $[1, n]$ tels que $v(i) = w(i)$ pour $i = i_1, \ldots, i_k$. Soit φ l'unique bijection croissante de $\{1, \ldots, n\} \setminus \{i_1, \ldots, i_k\}$ dans $\{1, \ldots, n-k\}$, et soit ψ l'unique bijection croissante de $\{1, \ldots, n\} \setminus \{v(i_1), \ldots, v(i_k)\}$ dans $\{1, \ldots, n-k\}$. Soient alors $\tilde{v} = \psi \circ v \circ \varphi^{-1}$ et $\tilde{w} = \psi \circ w \circ \varphi^{-1}$; ce sont des éléments de $\mathfrak{S}_{n-k}$. On a alors le

Lemme 1.2. $v \leq w \iff \tilde{v} \leq \tilde{w}$.

On peut aussi caractériser l'ordre de Bruhat-Chevalley à l'aide de la fonction rang d'une permutation : pour $w \in \mathfrak{S}_n$ et $p, q \in [1, n]$, on définit

$$r_w(p, q) = \#\{i \mid i \leq p \quad \text{et} \quad w(i) \leq q\}.$$

On a alors le lemme suivant (*cf.* [19], Prop. 2.1.12),

Lemme 1.3. *Pour* $v, w \in \mathfrak{S}_n$

$$v \leq w \iff r_v(p, q) \geq r_w(p, q), \quad \forall\, p, q \in [1, n].$$

D'autre part, A. Lascoux et M.-P. Schützenberger ont introduit une nouvelle approche, en définissant les rectrices d'une permutation (*cf.* [18]). Il est plus commode pour nos besoins de considérer la notion duale de corectrice (*cf.* [5]).

On appelle cograssmanniennes les permutations n'ayant qu'une montée, et cobigrassmanniennes les permutations cograssmanniennes dont l'inverse est aussi cograssmannienne. Une cobigrassmannienne est déterminée par un quadruplet d'entiers (n_0, n_1, n_2, n_3), avec $n_0, n_3 \in \mathbb{N}$, $n_1, n_2 \in \mathbb{N}^*$ et $\sum n_i = n$: on coupe $(n, n-1, \ldots, 1)$ en quatre blocs dont les cardinaux sont les n_i, et on permute les deux blocs médians. En termes de graphe, les cobigrassmanniennes sont de la forme suivante :

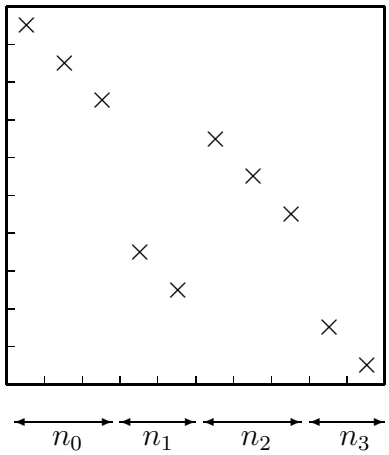

On dispose alors d'un critère simple pour comparer une permutation arbitraire et une cobigrassmannienne, analogue à [18], Lemme 4.3 : pour $w \in \mathfrak{S}_n$ et c la cobigrassmannienne définie par le quadruplet (n_0, n_1, n_2, n_3), on a le

Lemme 1.4. *$w \leq c$ si et seulement si l'ensemble $w([1, n_0+n_1]) \cap [1, n_1+n_3]$ contient au moins n_1 éléments.*

Les cobigrassmanniennes permettent de décrire l'ordre de Bruhat-Chevalley de la façon suivante : notant $\mathcal{C}$ l'ensemble des cobigrassmanniennes, on munit l'ensemble des parties de $\mathcal{C}$ de l'ordre inverse de l'inclusion. Alors, d'après [18], l'application qui à $w \in \mathfrak{S}_n$ associe l'ensemble $\{c \in \mathcal{C} \mid w \leq c\}$ induit un isomorphisme d'ensembles ordonnés de $\mathfrak{S}_n$ sur son image dans $2^{\mathcal{C}}$. Etant donné une permutation w de $\mathfrak{S}_n$, les éléments minimaux de $\{c \in \mathcal{C} \mid w \leq c\}$ sont appelés corectrices de w ; d'après ce qui précède, leur donnée détermine entièrement w. Elles sont paramétrées par l'ensemble coessentiel de w, dual de l'ensemble essentiel défini par Fulton (*cf.* [9]) :

$$Coess(w) = \left\{ (p,q) \in [1,n]^2 \;\middle|\; \begin{array}{l} w(p-1) \leq q < w(p) \\ w^{-1}(q) \leq p-1 < w^{-1}(q+1) \end{array} \right\}.$$

On notera $c_{p,q}$ la corectrice associée au point coessentiel (p,q) de w (voir [5], 2.3.2).

Définition 1.5. Soit c une cobigrassmannienne de quadruplet (n_0, n_1, n_2, n_3). On dit que c est *itérable* si on a $n_0, n_3 \geq 1$, et on définit alors l'itérée c^1 de c par son quadruplet $(n_0 - 1, n_1 + 1, n_2 + 1, n_3 - 1)$. Elle vérifie l'inégalité $c^1 \leq c$.

1.3 Quadrants et rectangles

Il est utile de revenir sur la définition des quadrants associés à un point (p, q) du carré $[1, n]^2$ donnée dans [5], pour obtenir une notion plus satisfaisante dans le cas général. On définit :

$$NO(p,q) = \{(i,j) \mid i \leq p, j > q\}$$

$$SO(p,q) = \{(i,j) \mid i \leq p, j \leq q\}$$

$$NE(p,q) = \{(i,j) \mid i > p, j > q\}$$

$$SE(p,q) = \{(i,j) \mid i > p, j \leq q\}$$

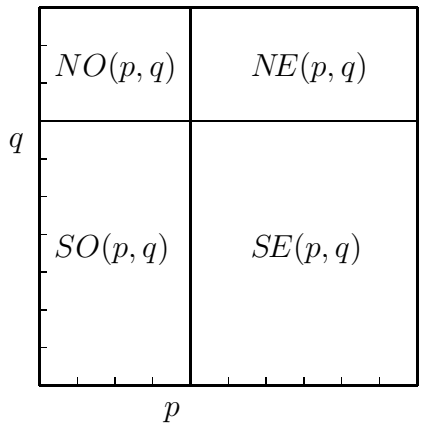

On considère $w \in \mathfrak{S}_n$. Les quadrants associés à (p, q) déterminent naturellement la partition suivante du graphe de w :

$$\begin{aligned} NO_w(p,q) &= \Gamma_w \cap NO(p,q), \\ SO_w(p,q) &= \Gamma_w \cap SO(p,q), \\ NE_w(p,q) &= \Gamma_w \cap NE(p,q), \\ SE_w(p,q) &= \Gamma_w \cap SE(p,q). \end{aligned}$$

Il est à noter que si $(p+1, q)$ est un point coessentiel de w, on obtient la même partition du graphe de w que celle décrite dans [5], 2.5.

On note $\partial(NO_w(p,q))$ la frontière Sud-Est de $NO_w(p,q)$, c.-à-d. l'ensemble des points $(x, w(x)) \in NO_w(p,q)$ tels que $NO_w(p,q)$ ne rencontre pas $SE(x, w(x))$. De même, on note $\partial(SE_w(p,q)))$ la frontière Nord-Ouest de $SE_w(p,q)$. On les notera simplement NO, NO_w, $\partial(NO_w)$, *etc.* lorsqu'il n'y aura pas d'ambiguïté.

On introduit aussi les notations suivantes ; soient a et b deux entiers distincts de $[1, n]$. Ecrivant indifféremment $[a, b]$ et $[b, a]$ pour l'ensemble des

entiers compris entre a et b, on note :

$$\begin{array}{rcl}
\mathcal{R}_{(a,b)}(w) & = &]\,a,b\,[\,\times\,]\,w(a),w(b)\,[\\
\overline{\mathcal{R}}_{(a,b)}(w) & = & [\,a,b\,]\times[\,w(a),w(b)\,] \\
\mathcal{R}^{(a,b)}(w) & = &]\,w^{-1}(a),w^{-1}(b)\,[\,\times\,]\,a,b\,[\\
\overline{\mathcal{R}}^{(a,b)}(w) & = & [\,w^{-1}(a),w^{-1}(b)\,]\times[\,a,b\,].
\end{array}$$

Soient maintenant A et B deux points distincts du graphe de w, de coordonnées respectives $(a, w(a))$ et $(b, w(b))$, on désigne aussi par $\mathcal{R}_{(A,B)}(w)$ (resp. $\overline{\mathcal{R}}_{(A,B)}(w)$) le rectangle $\mathcal{R}_{(a,b)}(w)$ (resp. $\overline{\mathcal{R}}_{(a,b)}(w)$).

2 Renforcement d'une condition d'incidence

Dans cette section, on établit un résultat de nature combinatoire, indépendant de l'étude des singularités qui fait l'objet des sections suivantes ; cette section n'est cependant pas étrangère au reste de ce travail, puisque la question traitée ici a été soulevée par la description donnée dans [5] des composantes irréductibles du lieu singulier d'une variété de Schubert covexillaire, et que la description de certaines composantes dans le cas général fera appel à une construction décrite ici.

La fonction rang définie en 1.2 permet de décrire les variétés de Schubert en termes de relations d'incidence (*cf.* [19], Prop. 3.6.4) : la variété de Schubert X_w est l'ensemble des drapeaux complets $V^\bullet$ de $\mathbb{K}^n$ qui vérifient pour tous $p, q \in [1, n]$,

$$\dim(V^p \cap \mathbb{K}^q) \geq r_w(p, q).$$

Dans [5], on a montré que si w est covexillaire, les composantes irréductibles de Sing X_w sont des sous-variétés de X_w définies par le renforcement d'une condition d'incidence, c.-à-d. de la forme

$$\{V^\bullet \in X_w \mid \dim(V^p \cap \mathbb{K}^q) \geq r_w(p, q) + 1\}$$

pour certains entiers p et q. Nous nous intéressons ici à ce type de sous-variétés dans le cas général : étant donné (p, q) tel que $r_w(p, q) < \mathrm{Min}(p, q)$, on considère

$$X_w^{(p,q)+} = \{V^\bullet \in X_w \mid \dim(V^p \cap \mathbb{K}^q) \geq r_w(p, q) + 1\}.$$

La cobigrassmannienne c de quadruplet défini par

$$\begin{aligned} n_0 &= p - r_w(p,q) \\ n_1 &= r_w(p,q) \\ n_2 &= n - (p+q) + r_w(p,q) \\ n_3 &= q - r_w(p,q), \end{aligned}$$

est itérable, et d'après le lemme 1.4, elle majore w, et l'on a $w \not\leq c^1$. On a

$$X_w^{(p,q)+} = X_w \cap X_{c^1}.$$

Réciproquement, si c est une cobigrassmannienne itérable, de quadruplet (n_0, n_1, n_2, n_3), telle que $w \leq c$ et $w \not\leq c^1$, posant $p = n_0 + n_1$ et $q = n_1 + n_3$, on a $X_w \cap X_{c^1} = X_w^{(p,q)+}$.

Nous allons décrire les composantes irréductibles de ces sous-variétés, en généralisant la construction de [5]. Cela revient à décrire les éléments maximaux de $\Lambda(w, c^1)$, où pour des permutations $w_1, \ldots, w_k$, on note $\Lambda(w_1, \ldots, w_k)$ l'ensemble des permutations z telles que $z \leq w_i$ pour $i = 1, \ldots, k$.

Soit c une cobigrassmannienne itérable de quadruplet (n_0, n_1, n_2, n_3) ; on note

$$\Omega(c) = \{w \in \mathfrak{S}_n \mid w \leq c \text{ et } w \not\leq c^1\}.$$

On pose $p = n_0 + n_1$ et $q = n_1 + n_3$. On considère $w \in \Omega(c)$; d'après le lemme 1.4, on a

$$\# SO_w = n_1,$$

et il vient alors aussi

$$\begin{aligned} \# NO_w &= n_0, \\ \# NE_w &= n_2, \\ \# SE_w &= n_3. \end{aligned}$$

On voit facilement que la bigrassmannienne

$$\begin{aligned} b = (1, \ldots, n_1,\ n_1 + n_3 + 1, \ldots, n_1 + n_3 + n_0, \\ n_1 + 1, \ldots, n_1 + n_3,\ n_1 + n_3 + n_0 + 1, \ldots, n), \end{aligned}$$

qui, avec les notations de [18], est la bigrassmannienne associée au quadruplet (n_1, n_0, n_3, n_2), est le plus petit élément de $\Omega(c)$.

Proposition 2.1. *Les éléments maximaux de $\Lambda(b, c^1)$ sont exactement les $(i, j)\, b$ pour $n_1 < i \leq q$, et $q < j \leq q + n_0$.*

Preuve. Comme on a $b(i) = i$ pour $i \in [1, n_1] \cup [n_1 + n_3 + n_0 + 1, n]$, toute permutation $v \leq b$ coïncide avec b sur ces intervalles. On peut donc supposer $n_1 = n_2 = 0$, c'est-à-dire que $b = (q+1, \ldots, n,\ 1, \ldots, q)$, avec $n = p + q$. La condition $v \leq c^1$ est alors

$$\#SO_v \geq 1 \quad (\star).$$

On observe que l'on a $v \leq b$ si et seulement si

$$v(i) \leq q + i \text{ pour } i \leq p, \text{ et } v(i) \geq i - p \text{ pour } i \geq p + 1 \quad (\star\star).$$

Cela s'exprime aussi en termes de graphe, comme représenté sur la figure suivante : le graphe de v doit être contenu dans la zone non hachurée

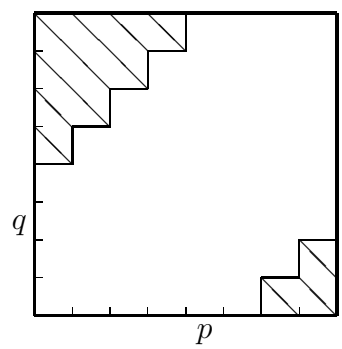

On considère maintenant $v \in \Lambda(b, c^1)$ maximale. Soit $r = \#SO_v = \#\{i \leq p \mid v(i) \leq q\}$; on a $r \geq 1$ puisque $v \leq c^1$. On a aussi $r = \#NE_v = \#\{i > p \mid v(i) > q\}$. Soient $i_1 < \cdots < i_r$ les $i \leq p$ tels que $v(i) \leq q$, et $i'_r < \cdots < i'_1$ les $i > p$ tels que $v(i) > q$. La maximalité de v entraîne $v(i_1) > \cdots > v(i_r)$ et $v(i'_r) > \cdots > v(i'_1)$. On veut montrer que $v(i) = b(i)$ pour $i \notin \mathcal{A} := \{i_1, \ldots, i_r, i'_r, \ldots, i'_1\}$, et que $r = 1$. Or on a pour tout $i \in [1, p]$,

$$v(i) = b(i) \text{ ou } i \in \mathcal{A} \quad (*).$$

En effet, c'est clair pour $i = 1$ car $b(1) = q + 1$; soit $i \in [2, p]$, supposons $v(i) \neq b(i)$ et $i \notin \mathcal{A}$. On a donc $q < v(i) < q + i$. Or, comme $v \leq b$, on a pour tout $i' \in [1, i-1]$, $v(i') \leq q + i' < q + i$, il vient donc $v^{-1}(q+i) > i$. On a ainsi $(v(i), q+i)\, v > v$, et on vérifie sans peine que $(v(i), q+i)\, v \leq b, c^1$ à l'aide de $(\star)$ et $(\star\star)$. Cela contredit la maximalité de v, et $(*)$ est démontrée.

On démontre de même que pour tout $i \in [p+1, n]$,

$$v(i) = b(i) \text{ ou } i \in \mathcal{A}.$$

Cela entraîne, comme $q \geq v(i_1) > \cdots > v(i_r)$ et $v(i'_r) > \cdots > v(i'_1) > q$, que $v(i_1) = b(i'_1) = i'_1 - p$ et $v(i'_1) = b(i_1) = q + i_1$. On obtient alors $r = 1$ car si $r \geq 2$, alors $v < v(i_1, i'_1) \leq b, c^1$, exclu par maximalité de v. Cela montre que $v = (i'_1 - p, i_1 + q)\, b$, c'est-à-dire que v est de la forme voulue.

On remarque de plus que, si $i \leq q$, et $q < j$, notant D le rectangle $[\, j - q, i + p - 1\,] \times [\, i, j - 1\,]$, on a

$$r_{(i,j)b} = r_b + \chi_D,$$

où χ_D désigne la fonction caractéristique de D. Il résulte alors du lemme 1.3 que les permutations $(i, j)\, b$ pour $i \leq q$, et $q < j$, sont deux à deux incomparables. Cela achève la preuve de la proposition 2.1. □

On considère maintenant un élément arbitraire w de $\Omega(c)$, et l'on se donne $(P_+, P_-) \in \partial(NO_w) \times \partial(SE_w)$ (voir 1.3 pour ces notations). Notons (x_∞, y_∞) les coordonnées de P_+, et $(x_{-\infty}, y_{-\infty})$ celles de P_-. Si l'ensemble $NE_w \cap \mathcal{R}_{(P_+,P_-)}(w)$ est non vide, sa frontière Sud-Ouest constitue la suite NE associée à (P_+, P_-). Soient s la longueur de cette suite ($s = 0$ si $NE_w \cap \mathcal{R}_{(P_+,P_-)}(w) = \emptyset$), et $(x_i, y_i)_{1 \leq i \leq s}$ les coordonnées des points, indexés de sorte que $x_s < \cdots < x_1$. On a alors $y_1 < \cdots < y_s$.

De manière symétrique, si l'ensemble $SO_w \cap \mathcal{R}_{(P_+,P_-)}(w)$ est non vide, sa frontière Nord-Est constitue la suite SO associée à (P_+, P_-). Soient t la longueur de cette suite et $(x_i, y_i)_{-t \leq i \leq -1}$ les coordonnées des points, indexés de sorte que $x_{-1} < \cdots < x_{-t}$. On a alors $y_{-t} < \cdots < y_{-1}$.

Définition 2.2. On notera $\mathcal{X} = \mathcal{X}_+ \cup \mathcal{X}_-$ (resp. $\mathcal{Y} = \mathcal{Y}_+ \cup \mathcal{Y}_-$) l'ensemble des abscisses (resp. ordonnées) ainsi distinguées, où

$$\mathcal{X}_+ = \{x_i \mid i \in [1, s] \cup \{-\infty\}\}, \quad \mathcal{Y}_+ = \{y_i \mid i \in [1, s] \cup \{\infty\}\},$$
$$\mathcal{X}_- = \{x_i \mid i \in [-t, -1] \cup \{\infty\}\}, \quad \mathcal{Y}_- = \{y_i \mid i \in [-t, -1] \cup \{-\infty\}\}.$$

On définit alors le cycle $\gamma_{(P_+,P_-)}$ par

$$\gamma_{(P_+,P_-)} = (y_\infty,\ y_{-1},\ \ldots,\ y_{-t},\ y_{-\infty},\ y_1,\ \ldots,\ y_s),$$

et la permutation $\tau_{(P_+,P_-)}$ par

$$\tau_{(P_+,P_-)} = \gamma_{(P_+,P_-)}\ w.$$

Il pourra être nécessaire par la suite de spécifier la permutation w à laquelle $\tau_{(P_+,P_-)}$ est associée, en écrivant $\tau_{(P_+,P_-)}(w)$. En revanche, on la notera simplement τ lorsqu'il n'y aura pas d'ambiguïté sur w et (P_+, P_-).

On note D' la région de $[1,n]^2$ définie par :

$$D' = \overline{\mathcal{R}}_{(P_+,P_-)}(w) \setminus \Big(\bigcup_{i=1}^{t} SO(x_{-i}-1, y_{-i}-1) \cup \bigcup_{i=1}^{s} NE(x_i-1, y_i-1) \Big),$$

et D la région obtenue en retirant à D' la bande d'ordonnée y_∞, et la bande d'abscisse $x_{-\infty}$.

On démontre alors comme dans [5], lemme 3.5, le

Lemme 2.3. *(a)* $r_\tau = r_w + \chi_D$, *en particulier* $\tau \leq w$,
(b) $\ell(\tau) = \ell(w) - (s+t+1)$.

Nous allons démontrer le

Théorème 2.4. *Les permutations* $\tau_{(P_+,P_-)}$, *pour* $(P_+,P_-) \in \partial(NO_w) \times \partial(SE_w)$, *sont exactement les éléments maximaux de* $\Lambda(w,c^1)$.

Preuve. Montrons pour commencer que les $\tau_{(P_+,P_-)}$, sont des éléments maximaux de $\Lambda(w,c^1)$. On fixe $(P_+,P_-) \in \partial(NO_w) \times \partial(SE_w)$, et l'on note simplement τ la permutation $\tau_{(P_+,P_-)}$. D'après l'assertion (a) du lemme ci-dessus, $\tau \in \Lambda(w,c^1)$. Supposons que τ ne soit pas maximal dans $\Lambda(w,c^1)$; alors il existe une transposition $t=(i,j)$ (avec $i<j$) telle que $t\tau$ soit encore dans $\Lambda(w,c^1)$, avec $\ell(t\tau) = \ell(\tau)+1$. On a $r_\tau = r_{t\tau} + \chi_R$, où R désigne le rectangle $[\tau^{-1}(i), \tau^{-1}(j)-1] \times [i, j-1]$. Comme $t\tau \leq w$, ce rectangle doit être contenu dans D. Il vient alors $i \in \mathcal{Y}_-$ et $j \in \mathcal{Y}_+$, et donc le point (p,q) est dans R. Ainsi l'on a $r_{t\tau}(p,q) = r_w(p,q)$, ce qui contredit $t\tau \leq c^1$; τ est donc maximal dans $\Lambda(w,c^1)$.

On termine alors la preuve du théorème par récurrence sur la longueur de $w \in \Omega(c)$; la proposition 2.1 donne le résultat pour l'élément minimal de $\Omega(c)$.

On se donne maintenant $w \in \Omega(c)$ tel que $w > b$. On suppose que pour tout $z \in [b,c]$ tel que $\ell(z) < \ell(w)$, les éléments maximaux de $\Lambda(z,c^1)$ sont exactement les $\tau_{(P_+,P_-)}(z)$ pour $(P_+,P_-) \in \partial(NO_z) \times \partial(SE_z)$. Compte-tenu de ce qui précède, il suffit de démontrer que $\Lambda(w,c^1)$ a au plus $\#\big(\partial(NO_w) \times \partial(SE_w)\big)$ éléments maximaux.

Soit y un élément maximal de $\Lambda(w,c^1)$; comme $w > b$, il existe soit un entier $j \neq q$ tel que $s_j w < w$, soit un entier $i \neq p$ tel que $w s_i < w$. Plaçons-nous par exemple dans le premier cas (l'autre situation se traite de manière similaire). On remarque alors que $s_j w \in \Omega(c)$. De plus, il résulte de la "propriété Z" de V. Deodhar (*cf.* [7], Theorem 1.1) que $s_j y \leq w$. D'autre

part, l'entier j est choisi de sorte que $s_j c^1 < c^1$, et il vient donc aussi $s_j y \leq c^1$. On en déduit, par maximalité de y, que $s_j y < y$. A nouveau, par la propriété Z, on obtient $s_j y \leq s_j w$. Il existe donc un élément maximal τ de $\Lambda(s_j w, c^1)$ tel que $s_j y \leq \tau$. On montre alors, à l'aide de la "propriété Z" que $y = s_j * \tau$, où $*$ est l'unique loi associative sur $\mathfrak{S}_n$ telle que pour toute transposition simple s et tout $v \in \mathfrak{S}_n$, $s * v = \max(v, sv)$. On a donc obtenu

$$\mathrm{Max}\big(\Lambda(w, c^1)\big) \subseteq s_j * \ \mathrm{Max}\big(\Lambda(s_j w, c^1)\big).$$

De plus, si $\tau \in \Lambda(s_j w, c^1)$, alors on a $s_j * \tau \leq w,\ c^1$. Il vient donc

$$\mathrm{Max}\big(\Lambda(w, c^1)\big) \subseteq \mathrm{Max}\Big(s_j * \ \mathrm{Max}\big(\Lambda(s_j w, c^1)\big)\Big) \qquad (\dagger).$$

Il nous suffit maintenant de montrer que $\#\big(\partial(NO_w) \times \partial(SE_w)\big)$ majore le cardinal du terme de droite de (†). Par hypothèse de récurrence, on a

$$\#\,\mathrm{Max}\Big(s_j * \ \mathrm{Max}\big(\Lambda(s_j w, c^1)\big)\Big) \leq \#\big(\partial(NO_{s_j w}) \times \partial(SE_{s_j w})\big).$$

Supposons $j > q$; alors il est clair que $\partial(SE_{s_j w}) = \partial(SE_w)$, et l'on voit facilement que $\#\,\partial(NO_{s_j w}) = \#\,\partial(NO_w)$ ou $\#\,\partial(NO_w) + 1$. Plus précisément, on a $\#\,\partial(NO_{s_j w}) = \#\,\partial(NO_w) + 1$ si et seulement si $(w^{-1}(j), j)$ appartient à $\partial(NO_w)$, et est l'unique point de NO_w au Sud-Est de $(w^{-1}(j+1), j+1)$. C'est le seul cas à considérer, car si $\#\,\partial(NO_{s_j w}) = \#\,\partial(NO_w)$, la majoration cherchée est établie. On a alors

$$\partial(NO_{s_j w}) = \partial(NO_w) \setminus \{(w^{-1}(j), j)\} \cup \{(w^{-1}(j), j+1), (w^{-1}(j+1), j)\}.$$

Notons P_+ (resp. P'_+) le point de $\Gamma_{s_j w}$ de coordonnées $(w^{-1}(j+1), j)$ (resp. $(w^{-1}(j), j+1)$). Pour tout $P_- \in \partial(SE_w) = \partial(SE_{s_j w})$, on a

$$s_j * \tau_{(P_+, P_-)}(s_j w) = \tau_{(P_+, P_-)}(s_j w),$$

et

$$s_j * \tau_{(P'_+, P_-)}(s_j w) = s_j \tau_{(P'_+, P_-)}(s_j w).$$

Montrons qu'alors

$$s_j * \tau_{(P_+, P_-)}(s_j w) \leq s_j * \tau_{(P'_+, P_-)}(s_j w)\ ;$$

on note $x_{-1} < \cdots < x_{-t}$ les abscisses des points de la suite SO définie par (P_+, P_-). Soit i le plus petit entier tel que $x_{-i} > w^{-1}(j)$; alors les points

de la suite SO définie par (P'_+, P_-) ont pour abscisses $x_{-i} < \cdots < x_{-t}$. Les permutations $\tau_{(P_+,P_-)}(s_j w)$ et $s_j \tau_{(P'_+,P_-)}(s_j w)$ ne diffèrent qu'en les abscisses $w^{-1}(j+1) < x_{-1} < \cdots < x_{-i+1} < w^{-1}(j)$, sur lesquelles $s_j \tau_{(P'_+,P_-)}(s_j w)$ induit la permutation maximale. On obtient ainsi

$$s_j * \tau_{(P_+,P_-)}(s_j w) \leq s_j * \tau_{(P'_+,P_-)}(s_j w).$$

Il vient donc

$$\# \operatorname{Max}\Big(s_j * \ \operatorname{Max}\big(\Lambda(s_j w, c^1)\big)\Big) \leq \#\Big[\big(\partial(NO_{s_j w}) \setminus \{P_+\}\big) \times \partial(SE_{s_j w})\Big],$$

c'est la majoration cherchée. On traite de même le cas $j < q$. On obtient ainsi le résultat voulu pour w, ce qui achève la démonstration du théorème. □

3 Des composantes de type S_1 et S_2

3.1 Configurations I et II

Dans cette section, on définit les configurations I et II d'une permutation w, et on leur associe des permutations inférieures ou égales à w. Les configurations I sont une version intrinsèque de la construction de la section précédente (c'est-à-dire qui ne nécessite pas le choix préalable d'une cobigrassmannienne c telle que $w \in \Omega(c)$).

Définition 3.1. • On appelle *configuration I* de w un ensemble de points du graphe de w,

$$\mathcal{I} = \{(x_\infty, y_\infty),\ (x_{-\infty}, y_{-\infty})\} \cup \{(x_i, y_i),\ i \in [-t, -1] \cup [1, s]\},$$

avec $s,\ t \geq 0$, vérifiant les inégalités

$$\begin{aligned} &x_\infty < x_{-1} < \cdots < x_{-t} < x_s < \cdots < x_1 < x_{-\infty}, \\ &y_{-\infty} < y_{-t} < \cdots < y_{-1} < y_1 < \cdots < y_s < y_\infty, \end{aligned}$$

et tels que, notant $\mathcal{R} = \mathcal{R}_{(x_\infty, x_{-\infty})}(w)$, on ait :

$$\Gamma_w \cap \mathcal{R} \subseteq \bigcup_{i=1}^{t} SO(x_{-i}, y_{-i}) \cup \bigcup_{i=1}^{s} NE(x_i - 1, y_i - 1) \qquad (\triangle).$$

Graphiquement, une configuration I est un ensemble de points du graphe comme représenté sur le diagramme suivant, tel que la zone hachurée ne contienne aucun point du graphe.

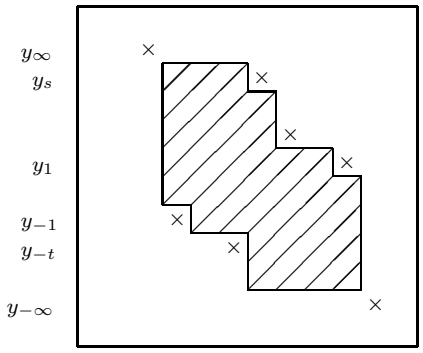

• Si $st = 0$, on dit que la configuration est dégénérée, au Nord-Est si $s = 0$, et au Sud-Ouest si $t = 0$.
• Si $\mathcal{I}$ est une configuration I de w, on lui associe le cycle

$$\gamma(\mathcal{I}) = (y_\infty,\ y_{-1},\ \ldots,\ y_{-t},\ y_{-\infty},\ y_1,\ \ldots,\ y_s),$$

et l'on définit la permutation

$$\tau(\mathcal{I}) = \gamma(\mathcal{I})\, w.$$

On définit alors la région D comme en 2.2, et l'on rappelle que l'on a : $r_{\tau(\mathcal{I})} = r_w + \chi_D$, en particulier $\tau(\mathcal{I}) \leq w$, et $\ell(\tau(\mathcal{I})) = \ell(w) - (s + t + 1)$.

On obtient une paramétrisation des configurations I de w de la manière suivante.

Définition 3.2. On dit qu'un point coessentiel $P = (p+1, q)$ de w, est *bien bordé* si le graphe de w rencontre les quadrants $NO(p, q)$ et $SE(p, q)$. Dans ce cas, on appelle *bordage minimal* de P tout couple de points $(P_+, P_-) \in NO_w(p, q) \times SE_w(p, q)$ tels que $\mathcal{R}_{(P_-,P_+)}(w) \cap NO(p, q)$ et $\mathcal{R}_{(P_-,P_+)}(w) \cap SE(p, q)$ ne contiennent aucun point du graphe de w.

On fixe un point coessentiel bien bordé $P = (p+1, q)$ de w, et un bordage minimal (P_+, P_-) de P. Alors on a $(P_+, P_-) \in \partial(NO_w(p, q)) \times \partial(SE_w(p, q))$, et l'on considère alors les suites NE et SO associées, notées $(x_i, y_i)_{1\leq i\leq s}$ et $(x_i, y_i)_{-t\leq i\leq -1}$. Alors l'ensemble

$$\mathcal{I} := \{P_+, P_-\} \cup \{(x_i, y_i),\ i \in [-t, -1] \cup [1, s]\},$$

est une configuration I de w. De plus, toutes les configurations I de w sont obtenues de cette manière. On note $\mathcal{T}_w$ l'ensemble des triplets (P, P_+, P_-), où P est un point coessentiel bien bordé de w et (P_+, P_-) un bordage minimal

de P. L'application qui à un tel triplet associe la configuration I décrite plus haut n'est en général pas injective ; ces configurations sont paramétrées par les classes d'équivalence de $\mathcal{T}_w$ pour la relation suivante : $(P, P_+, P_-) \sim (Q, Q_+, Q_-)$ si l'on a $P_+ = Q_+,\ P_- = Q_-$, et si les quadrants associés aux points coessentiels P et Q définissent la même partition de $\Gamma_w \cap \mathcal{R}_{(P_+,P_-)}(w)$.

On passe maintenant aux configurations II.

Définition 3.3. • Une configuration (3412) de w est la donnée de quatre points du graphe, d'abscisses $a < b < c < d$, tels que $w(c) < w(d) < w(a) < w(b)$. Par abus de langage, on assimilera cette donnée à celle des abscisses.
• Une configuration (3412), d'abscisses $a < b < c < d$, est dite *incompressible* s'il n'existe pas d'autre configuration (3412) d'abscisses $x < y < c < d$ telle que $(x, w(x))$ (resp. $(y, w(y))$) soit au Sud-Est de $(a, w(a))$ (resp. $(b, w(b))$), ni, de manière symétrique, d'autre configuration (3412) d'abscisses $a < b < x < y$ telle que $(x, w(x))$ (resp. $(y, w(y))$) soit au Nord-Ouest de $(c, w(c))$ (resp. $(d, w(d))$).

La donnée d'une configuration (3412) détermine une partition du rectangle $\mathcal{R}_{II} = [\,a, d\,] \times [\,w(c),\, w(b)]$ en neuf zones. D'une part les zones

$$\begin{array}{rcl} NO_{II} & = & [\,a, b\,] \times [\,w(a), w(b)\,], \\ NE_{II} & = & [\,c, d\,] \times [\,w(a), w(b)\,], \\ SO_{II} & = & [\,a, b\,] \times [\,w(c), w(d)\,], \\ SE_{II} & = & [\,c, d\,] \times [\,w(c), w(d)\,], \end{array}$$

la zone centrale

$$C =]\,b, c\,[\,\times\,]\,w(d), w(a)\,[,$$

et enfin les zones médianes

$$\begin{array}{rcl} MN & = &]\,b, c\,[\,\times[\,w(a), w(b)\,], \\ MO & = & [\,a, b\,]\times]\,w(d), w(a)\,[, \\ ME & = & [\,c, d\,]\times]\,w(d), w(a)\,[, \\ MS & = &]\,b, c\,[\,\times[\,w(c),\, w(d)]. \end{array}$$

Exemple 3.4. On considère la permutation

$$w = (11, 12, 17, 7, 3, 5, 16, 10, 1, 9, 2, 6, 15, 4, 18, 13, 8, 14) \in \mathcal{S}_{18},$$

et la configuration (3412) donnée par les points d'abscisses 2, 7, 11, 17 (cette configuration est incompressible). Sur le diagramme suivant, on a représenté

par des $\otimes$ les points de la configuration, et par des $\times$ les autres points du graphe de w. On a représenté le rectangle $\mathcal{R}_{II}$ associé et les 9 zones décrites ci-dessus.

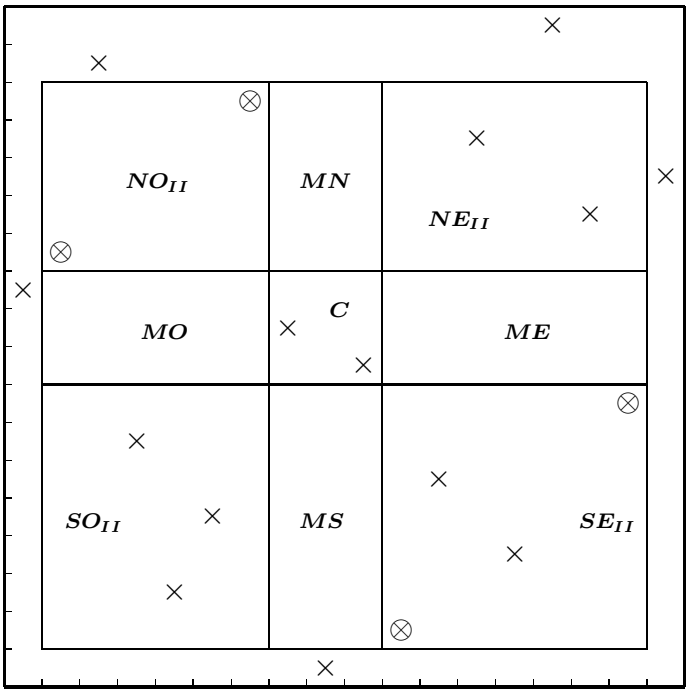

Soit maintenant $a < b < c < d$ une configuration (3412) incompressible. Alors, d'une part, aucune des quatre zones médianes ne contient de point du graphe de w, et, d'autre part, si $C \cap \Gamma_w$ est non vide, notant ses points $(c_i, d_i)_{1 \leq i \leq r}$, avec $c_1 < \cdots < c_r$, on a $d_1 > \cdots > d_r$. Cette suite de points du graphe de w est appelée la suite centrale associée à la configuration $a < b < c < d$.

On considère maintenant l'ensemble $NE_{II} \cap \Gamma_w$. S'il n'est pas vide, sa frontière Sud-Ouest constitue la suite NE associée à la configuration $a < b < c < d$. Soient s la longueur de cette suite, et $(x_i, y_i)_{1 \leq i \leq s}$ ses points, indexés de sorte que $c < x_s < \cdots < x_1 < d$. On a alors $w(a) < y_1 < \cdots < y_s < w(b)$.

De manière symétrique, on considère $SO_{II} \cap \Gamma_w$. S'il est non vide, sa frontière Nord-Est constitue la suite SO associée à la configuration $a < b < c < d$. Soient t la longueur de cette suite et $(x_i, y_i)_{-t \leq i \leq -1}$ ses points, indexés de sorte que $a < x_{-1} < \cdots < x_{-t} < b$. On a alors $w(c) < y_{-t} < \cdots < y_{-1} <$

$w(d)$.

Définition 3.5. • On appelle *configuration II* de w la donnée d'une configuration (3412) incompressible et des trois suites de points associées comme ci-dessus. Une configuration II n'ayant pas de suite centrale sera dite *mixte*, et une configuration II avec une suite centrale mais n'ayant ni suite NE ni suite SO sera dite *pure*.
• On notera

$$\begin{array}{c} \mathcal{X}_- = \{x_i \mid i \in [-t,-1]\}, \quad \mathcal{Y}_- = \{y_i \mid i \in [-t,-1]\}, \\ \mathcal{C} = \{c_i \mid i \in [1,r]\}, \quad \mathcal{D} = \{d_i \mid i \in [1,r]\}, \\ \mathcal{X}_+ = \{x_i \mid i \in [1,s]\}, \quad \mathcal{Y}_+ = \{y_i \mid i \in [1,s]\}. \end{array}$$

On définit alors le cycle $\gamma(\mathrm{II})$ par

$$\gamma(\mathrm{II}) = \big(w(a),\ y_{-1},\dots,\ y_{-t},\ w(c),\ w(d),\ y_1,\dots,\ y_s,\ w(b)\big)$$

et la permutation $\sigma(\mathrm{II})$ par

$$\sigma(\mathrm{II}) = \gamma(\mathrm{II})\ w.$$

Soit D'_{II} la région du carré $[1,n]^2$ définie par

$$D'_{II} = \mathcal{R}_{II} \setminus \Big(\bigcup_{i=1}^{t} SO(x_{-i}-1, y_{-i}-1) \cup \bigcup_{i=1}^{s} NE(x_i-1, y_i-1) \\ \cup NO(b-1, w(a)-1) \cup SE(c-1, w(d)-1)\Big),$$

et soit D_{II} la région obtenue en retirant à D'_{II} la bande d'ordonnée $w(b)$ et la bande d'abscisse d.

Exemple 3.6. On reprend la permutation considérée dans l'exemple précédent

$$w = (11,12,17,7,3,5,16,10,1,9,2,6,15,4,18,13,8,14) \in \mathcal{S}_{18},$$

et la configuration (3412) incompressible donnée par les points d'abscisses 2, 7, 11, 17. Sur le diagramme suivant, on a représenté par des $\oplus$ les quatre points de la configuration, par des $\oplus$ les points des trois suites décrites ci-dessus, et par des $+$ les autres points du graphe de w.

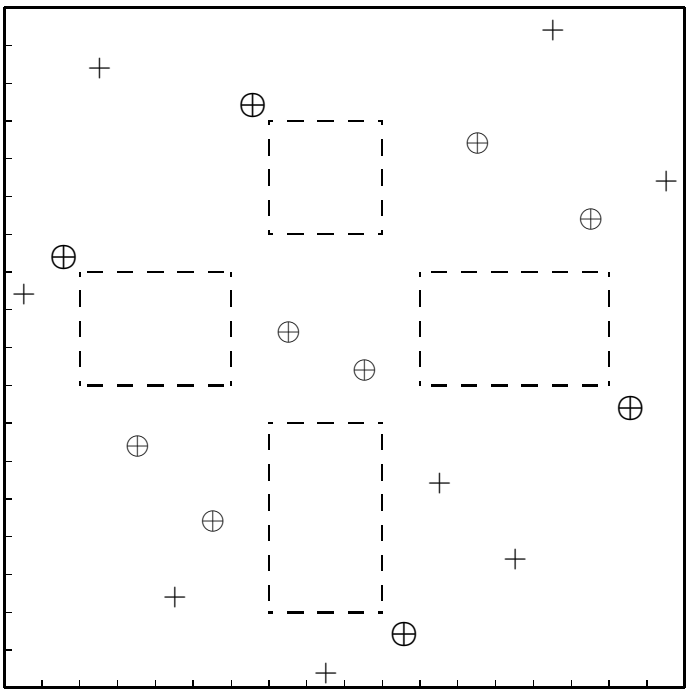

La permutation $\sigma(\pi)$ est alors

$$\sigma(\pi) = (11, 7, 17, 5, 3, 2, 12, 10, 1, 9, 8, 6, 16, 4, 18, 15, 13, 14).$$

Sur le diagramme suivant, on a représenté par des $\bigoplus$ les points du graphe de $\sigma(\pi)$ dont les ordonnées sont dans $\{w(c), w(d), w(a), w(b)\}$, par des $\oplus$ ceux dont les ordonnées sont dans $\mathcal{Y}_- \cup \mathcal{D} \cup \mathcal{Y}_+$, et par des $+$ les autres points du graphe de $\sigma(\pi)$. On a représenté par des $\cdot$ les points du graphe de w dont les abscisses sont dans $\{a, b, c, d\} \cup \mathcal{X}_- \cup \mathcal{X}_+$. Enfin, D_{II} est la région délimitée par les pointillés.

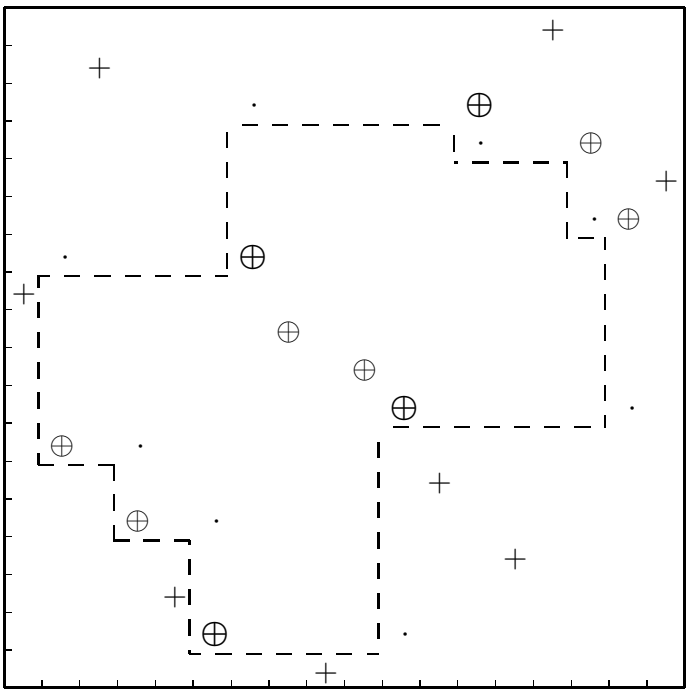

Le résultat suivant est une extension du lemme 3.5 de [5].

Lemme 3.7. (*a*) $r_{\sigma(\mathrm{II})} = r_w + \chi_{D_{II}}$, *en particulier* $\sigma(\mathrm{II}) \leq w$.
(*b*) $\ell(\sigma(\mathrm{II})) = \ell(w) - (2r + s + t + 3)$.

Preuve. (*a*) L'égalité $r_{\sigma(\mathrm{II})} = r_w + \chi_{D_{II}}$ résulte de la construction de $\sigma(\mathrm{II})$, et l'inégalité $\sigma(\mathrm{II}) \leq w$ en découle d'après le lemme 1.3.

(*b*) On remarque que $\gamma(\mathrm{II})$ s'écrit aussi

$$\gamma(\mathrm{II}) = \Big[\big(w(d), y_1\big)\big(y_1, y_2\big)\cdots\big(y_{s-1}, y_s\big)\big(y_s, w(b)\big)\Big]$$
$$\Big[\big(w(a), y_{-1}\big)\big(y_{-1}, y_{-2}\big)\cdots\big(y_{-t+1}, y_{-t}\big)\big(y_{-t}, w(c)\big)\Big]\ \big(w(c), w(b)\big).$$

En utilisant le lemme 1.1, on obtient d'abord $\ell((w(c), w(b))w) = \ell(w) - (2r + 1)$. Ensuite, à chaque étape élémentaire $v' = (i, j)v$ du passage de w à $\sigma(\mathrm{II})$, le rectangle de sommets $(v^{-1}(i), i)$ et $(v^{-1}(j), j)$ ne contient pas d'autre point du graphe de v, de sorte que l'on a $\ell(v') = \ell(v) - 1$. On en déduit l'égalité annoncée. □

3.2 Des composantes de type S_1 et S_2

Nous allons déterminer, parmi les permutations associées aux configurations I et II de w, définies à la section précédente, celles qui donnent des composantes irréductibles du lieu singulier de X_w. Pour cela, comme expliqué en 1.1, nous décrivons les transversales correspondantes dans X_w.

On considère d'abord une configuration I de w, notée $\mathcal{I}$, et l'on note simplement τ la permutation associée. On rappelle que l'on a défini à la section 2,

$$\mathcal{Y}_+ = \{y_i \mid i \in [1,s] \cup \{\infty\}\},$$
$$\mathcal{X}_- = \{x_i \mid i \in [-t,-1] \cup \{\infty\}\}.$$

On définit encore

$$\mathcal{C}_{\mathcal{Y}_+,\mathcal{X}_-} = \left\{ u = (u_{ij}) \in GL_n \;\middle|\; \begin{array}{l} u_{\tau(j)j} = 1 \ \text{ pour tout } \ j, \\ u_{ij} = 0 \ \text{ si } \ i \notin \mathcal{Y}_+ \ \text{ ou } \ j \notin \mathcal{X}_-, \\ \operatorname{rg}\,(u_{ij})_{\substack{i\in\mathcal{Y}_+ \\ j\in\mathcal{X}_-}} \leq 1 \end{array} \right\}.$$

Le tore T agit sur $\mathcal{C}_{\mathcal{Y}_+,\mathcal{X}_-}$ par : $t \cdot u = t\,u\,(\overline{\tau}^{-1}\,t^{-1}\,\overline{\tau})$, où $\overline{\tau}$ désigne la matrice de la permutation τ, c'est-à-dire la matrice dont les coefficients sont les $\delta_{i\,\tau(j)}$. La projection de $\mathcal{M}_n$ (ensemble des matrices carrées d'ordre n à coefficients dans $\mathbb{K}$) sur $\mathcal{M}_{s+1,t+1}$ (ensemble des matrices de taille $(s+1,t+1)$ à coefficients dans $\mathbb{K}$) obtenue par omission des lignes (resp. colonnes) d'indice n'appartenant pas à $\mathcal{Y}_+$ (resp. $\mathcal{X}_-$) induit un isomorphisme T-équivariant de $\mathcal{C}_{\mathcal{Y}_+,\mathcal{X}_-}$ sur $\mathcal{C}_{s+1,t+1}$.

On démontre alors, exactement comme dans [5], théorème 3.6, le

Théorème 3.8. (*a*) *L'application* $u \longmapsto u\mathbb{K}^\bullet$ *induit un isomorphisme* T-*équivariant de* $\mathcal{C}_{\mathcal{Y}_+,\mathcal{X}_-}$ *sur* $\mathcal{N}_{\tau,w}$.
(*b*) *Par conséquent, si* $st = 0$, e_τ *est un point lisse de* X_w, *et si* $st \neq 0$, X_τ *est une composante irréductible de Sing* X_w, *de type* S_1.

On considère maintenant une configuration II de w, et la permutation associée, notée simplement σ. En vue de la description de la transversale $\mathcal{N}_{\sigma,w}$, il est utile de considérer la variété suivante : étant donné trois entiers i,j,k avec $i,k \geq 1$ et $j \geq 2$, on définit

$$\mathcal{N}_{i,j,k} = \{(M,N) \in \mathcal{C}_{j,k} \times \mathcal{C}_{i,j} \mid NM = 0\}.$$

Proposition 3.9. *$\mathcal{N}_{i,j,k}$ est une variété irréductible de dimension $2j+i+k-3$. Elle est singulière au point $(0,0)$.*
(a) Cette singularité est isolée si et seulement si $j=2$ ou $i=k=1$.
(b) Si $i>1$, $j>2$, et $k=1$ (resp. $i=1$, $j>2$, et $k>1$) alors Sing $\mathcal{N}_{i,j,1}=\mathcal{C}_{j,1}\times\{0\}$ (resp. Sing $\mathcal{N}_{1,j,k}=\{0\}\times\mathcal{C}_{1,j}$).
(c) Si $i,k>1$ et $j>2$, Sing $\mathcal{N}_{i,j,k}$ a deux composantes irréductibles, $\mathcal{C}_{j,k}\times\{0\}$ et $\{0\}\times\mathcal{C}_{i,j}$.
(d) On a :
- *$\mathcal{N}_{i,2,k}$ est isomorphe à $\mathcal{C}_{i+k,2}$,*
- *$\mathcal{N}_{1,j,1}$ est un cône quadratique non dégénéré de dimension $2j-1$.*

Preuve. Les assertions (a), (b) et (c) de cette proposition sont un cas particulier du Théorème 1 de [11] ; on en donne ici, dans ce cas particulier, une démonstration directe, plus simple et plus géométrique.

Notons $\mathbb{P}(\mathbb{K}^j)$ (resp. $\mathbb{P}^*(\mathbb{K}^j)$) l'espace projectif des droites (resp. hyperplans) dans $\mathbb{K}^j$. En considérant la résolution

$$\mathcal{Z}_{i,j,k}=\{(M,\mathcal{D},\mathcal{H},N)\in\mathcal{C}_{j,k}\times\mathbb{P}(\mathbb{K}^j)\times\mathbb{P}^*(\mathbb{K}^j)\times\mathcal{C}_{i,j}\mid \\ \operatorname{Im} M\subseteq\mathcal{D}\subseteq\mathcal{H}\subseteq\operatorname{Ker} N\},$$

on voit que $\mathcal{N}_{i,j,k}$ est irréductible et de dimension $2j+i+k-3$.

D'autre part, on voit facilement que l'espace tangent à $\mathcal{N}_{i,j,k}$ en $(0,0)$ s'identifie à $\mathcal{M}_{j,k}\times\mathcal{M}_{i,j}$. Par conséquent, le point $(0,0)$ est singulier dans $\mathcal{N}_{i,j,k}$. Par ailleurs, notant m_{pq} les coefficients de la matrice M, on définit les ouverts affines

$$U_{pq}=\{M\in\mathcal{C}_{j,k}\mid m_{pq}\neq 0\}$$

et

$$\mathcal{U}_{pq}=\{(M,N)\in\mathcal{N}_{i,j,k}\mid m_{pq}\neq 0\}.$$

On voit sans peine que, premièrement, l'application qui à M associe les coefficients m_{pq}, m_{rq}, m_{ps} pour $r\neq p$ et $s\neq q$, induit un isomorphisme $U_{pq}\simeq\mathbb{K}^*\times\mathbb{K}^{j+k-2}$, et deuxièmement, l'application $(M,N)\longmapsto(M,\overline{N})$, où $\overline{N}$ est la matrice obtenue par omission de la colonne d'indice p de N, induit un isomorphisme $\mathcal{U}_{pq}\simeq U_{pq}\times\mathcal{C}_{i,j-1}$.

De même, on définit

$$\mathcal{V}_{pq}=\{(M,N)\in\mathcal{N}_{i,j,k}\mid n_{pq}\neq 0\}$$

et

$$V_{pq} = \{N \in \mathcal{C}_{i,j} \mid n_{pq} \neq 0\}.$$

On obtient comme précédemment que $V_{pq} \simeq \mathbb{K}^* \times \mathbb{K}^{i+j-2}$ et que $\mathcal{V}_{pq} \simeq \mathcal{C}_{j-1,k} \times V_{pq}$.

D'autre part, on observe que $\mathcal{C}_{r,s}$ est lisse si $r = 1$ ou $s = 1$ et a 0 pour unique point singulier sinon. Comme les ouverts $\mathcal{U}_{pq}$ et $\mathcal{V}_{pq}$ recouvrent $\mathcal{N}_{i,j,k} \setminus \{(0,0)\}$, on en déduit les assertions (a), (b) et (c). Il reste à établir les deux isomorphismes de (d).

D'abord, il est clair que si $i = k = 1$, $\mathcal{N}_{1,j,1}$ est un cône quadratique non dégénéré de dimension $2j - 1$. Supposons maintenant $j = 2$; alors

$$\mathcal{N}_{i,2,k} = \{(M,N) \in \mathcal{C}_{2,k} \times \mathcal{C}_{i,2} \mid NM = 0\}.$$

On vérifie sans difficulté que l'application

$$\begin{array}{ccc} \mathcal{M}_{2,k} \times \mathcal{M}_{i,2} & \longrightarrow & \mathcal{M}_{i+k,2}, \\ (M,N) & \longmapsto & \begin{pmatrix} N \\ \widetilde{M} \end{pmatrix} \end{array}$$

où $\widetilde{M} = {}^tM \begin{pmatrix} 0 & -1 \\ 1 & 0 \end{pmatrix}$, induit un isomorphisme de $\mathcal{N}_{i,2,k}$ sur $\mathcal{C}_{i+k,2}$. Cela achève la preuve de la proposition. $\square$

On passe maintenant à la description de la transversale $\mathcal{N}_{\sigma,w}$; cela nécessite encore quelques notations. On définit

$$\begin{array}{ll} \overline{\mathcal{X}_-} = \mathcal{X}_- \cup \{a\}, & \overline{\mathcal{Y}_+} = \mathcal{Y}_+ \cup \{w(b)\}, \\ \overline{\mathcal{C}} = \mathcal{C} \cup \{b,c\}, & \overline{\mathcal{D}} = \mathcal{D} \cup \{w(a), w(d)\}, \end{array}$$

et l'on désigne par $\mathcal{M}_\sigma$ l'ensemble des $u \in GL_n$ tels que :

- $u_{\sigma(j)j} = 1$ pour tout j,
- $u_{ij} = 0$ si $i \neq \sigma(j)$ et $(i,j) \notin (\overline{\mathcal{D}} \times \overline{\mathcal{X}_-}) \cup (\overline{\mathcal{Y}_+} \times \overline{\mathcal{C}})$,
- $(M, \overleftarrow{N}) \in \mathcal{N}_{s+1,r+2,t+1}$, où M et N sont les matrices extraites de u définies par $M = (u_{ij})_{(i,j) \in \overline{\mathcal{D}} \times \overline{\mathcal{A}_-}}$ et $N = (u_{ij})_{(i,j) \in \overline{\mathcal{Y}_+} \times \overline{\mathcal{C}}}$, et $\overleftarrow{N}$ est la matrice obtenue en lisant N de droite à gauche.

On fait agir le tore T sur $\mathcal{M}_\sigma$ par $t \cdot u = t\, u(\overline{\sigma}^{-1}\, t^{-1}\, \overline{\sigma})$.

Théorème 3.10. *L'application $u \longmapsto u\mathbb{K}^\bullet$ induit un isomorphisme T-équivariant de $\mathcal{M}_\sigma$ sur $\mathcal{N}_{\sigma,w}$.*

Preuve. La preuve de ce théorème s'obtient en étendant les arguments de la preuve du théorème 3.6 de [5]. Rappelons que $\mathcal{N}_{\sigma,w} = \big(\sigma(U^-)\cap U^-\big)e_\sigma \bigcap X_w$, et qu'il résulte de la décomposition de Bruhat que l'application

$$\begin{array}{rccc} \phi: & \overline{\sigma}U^- \cap U^-\overline{\sigma} & \longrightarrow & \big(\sigma(U^-)\cap U^-\big)e_\sigma \\ & u & \longmapsto & u\mathbb{K}^\bullet \end{array}$$

est un isomorphisme T-équivariant. Il s'agit donc de montrer que $\mathcal{M}_\sigma = \phi^{-1}(\mathcal{N}_{\sigma,w})$.

On a d'abord

$$\overline{\sigma}U^- \cap U^-\overline{\sigma} = \left\{ u \in GL_n \;\middle|\; \begin{array}{l} u_{\sigma(j)j} = 1 \;\text{ pour tout }\; j, \\ u_{ij} = 0 \text{ si }\; i < \sigma(j) \text{ ou }\; j > \sigma^{-1}(i) \end{array} \right\}.$$

Considérons maintenant $u \in \phi^{-1}(\mathcal{N}_{\sigma,w})$, et montrons que pour $(i,j) \notin (\overline{\mathcal{D}} \times \overline{\mathcal{X}_-}) \cup (\overline{\mathcal{Y}_+} \times \overline{\mathcal{C}})$, avec $i > \sigma(j)$ et $j < \sigma^{-1}(i)$, on a $u_{ij} = 0$.

Pour commencer, si $j \notin \overline{\mathcal{X}_-} \cup \overline{\mathcal{C}}$, le point $(j, \sigma(j))$ n'est pas dans D_{II}, on a donc $r_\sigma\big(j,\sigma(j)\big) = r_w\big(j,\sigma(j)\big)$. L'espace $u(\mathbb{K}^j) + \mathbb{K}^{\sigma(j)}$ contient la famille de vecteurs

$$\{e_1, \ldots, e_{\sigma(j)}\} \cup \{ue_p \mid p < j, \sigma(p) > \sigma(j)\} \cup \{ue_j - e_{\sigma(j)}\}.$$

S'il existait $i > \sigma(j)$ tel que $u_{ij} \neq 0$, alors on aurait $i \notin \{\sigma(p) \mid p < j\}$ car $u_{\sigma(p)j} = 0$ pour $j < p$, et donc cette famille serait libre. Or son cardinal est

$$\sigma(j) + j - r_\sigma\big(j,\sigma(j)\big) + 1 = \sigma(j) + j - r_w\big(j,\sigma(j)\big) + 1,$$

alors que $\dim(u(\mathbb{K}^j) + \mathbb{K}^{\sigma(j)}) \leq \sigma(j) + j - r_w\big(j,\sigma(j)\big)$, une contradiction. Ainsi, si $j \notin \overline{\mathcal{X}_-} \cup \overline{\mathcal{C}}$, on a $u_{ij} = 0$ pour tout $i > \sigma(j)$. De même, on montre que si $i \notin \overline{\mathcal{Y}_+} \cup \overline{\mathcal{D}}$ alors $u_{ij} = 0$ pour tout $j < \sigma^{-1}(i)$.

Remarquons de plus que si $(i,j) \in \overline{\mathcal{D}} \times \overline{\mathcal{C}}$, avec $\sigma(j) \neq i$, alors on a $i < \sigma(j)$ ou bien $j > \sigma^{-1}(i)$, car la restriction de σ à $\overline{\mathcal{C}} \times \overline{\mathcal{D}}$ est l'élément de plus grande longueur ; et donc $u_{ij} = 0$, d'après la description de $\overline{\sigma}U^- \cap U^-\overline{\sigma}$. Par ailleurs, on voit que si $(i,j) \in \overline{\mathcal{Y}_+} \times \overline{\mathcal{X}_-}$, le point $(j, i-1)$ n'est pas dans D_{II} ; en considérant l'espace $u(\mathbb{K}^j) + \mathbb{K}^{i-1}$, on montre alors comme précédemment que $u_{ij} = 0$. Cela prouve que $u_{ij} = 0$ si $i \neq \sigma(j)$ et $(i,j) \notin (\overline{\mathcal{D}} \times \overline{\mathcal{X}_-}) \cup (\overline{\mathcal{Y}_+} \times \overline{\mathcal{C}})$.

Soient maintenant μ le rang de la matrice extraite $M = (u_{ij})_{(i,j)\in\overline{\mathcal{D}}\times\overline{\mathcal{X}_-}}$, et ν le rang de la matrice extraite $N = (u_{ij})_{(i,j)\in\overline{\mathcal{Y}_+}\times\overline{\mathcal{C}}}$. Soit E l'espace engendré par la famille de vecteurs

$$\{e_1, \ldots, e_{w(d)-1}\} \cup \{ue_j \mid j < b, \sigma(j) > w(d)\} \cup \{ue_j \mid j \in \overline{\mathcal{X}_-}\}.$$

On voit que sa dimension est

$$(w(d)-1)+(b-1)-r_\sigma\big(b-1,w(d)\big)+\mu.$$

Le point $(b-1,w(d))$ est dans D_{II}, donc on a

$$\dim E=(w(d)-1)+(b-1)-r_w\big(b-1,w(d)\big)+\mu-1.$$

Or $E\subseteq u(\mathbb{K}^{b-1})+\mathbb{K}^{w(d)-1}$, donc $\dim E\leq(w(d)-1)+(b-1)-r_w\big(b-1,w(d)\big)$. Il en résulte que $\mu\leq 1$. On montre de même que $\nu\leq 1$.

Montrons maintenant que $\overleftarrow{N}M=0$. Pour cela, on introduit les notations suivantes : on pose $c_0=b, c_{r+1}=c, d_0=w(a),$ et $d_{r+1}=w(d)$. Il s'agit alors de montrer que pour tout $(i,j)\in\overline{\mathcal{Y}_+}\times\overline{\mathcal{X}_-}$

$$\sum_{k=0}^{r+1}u_{ic_k}u_{d_kj}=0.$$

Fixons $j\in\overline{\mathcal{X}_-}$; d'après ce qui précède,

$$ue_j=e_{\sigma(j)}+\sum_{k=0}^{r+1}u_{d_kj}e_{d_k},$$

et pour tout $k\in[0,r+1]$,

$$ue_{c_k}=e_{d_k}+\sum_{i\in\overline{\mathcal{Y}_+}}u_{ic_k}e_i.$$

Soit $f_j=ue_j-e_{\sigma(j)}-\sum_{k=0}^{r+1}u_{d_kj}ue_{c_k}$. Ce vecteur appartient à l'espace $u(\mathbb{K}^c)+\mathbb{K}^{w(d)-1}$, et il s'écrit en fait

$$f_j=-\sum_{i\in\overline{\mathcal{Y}_+}}\left(\sum_{k=0}^{r+1}u_{ic_k}u_{d_kj}\right)e_i.$$

S'il existait $j\in\overline{\mathcal{X}_-}$ tel que $f_j\neq 0$, alors la famille

$$\{e_1,\ldots,e_{w(d)-1}\}\cup\{ue_p\mid p\leq c,\ \sigma(p)\geq w(d)\}\cup\{f_j\}$$

serait libre. Son cardinal est $w(d)-1+c-r_\sigma(c,w(d)-1)+1$, et elle est contenue dans l'espace $u(\mathbb{K}^c)+\mathbb{K}^{w(d)-1}$, dont la dimension est au plus $w(d)-$

$1 + c - r_w(c, w(d) - 1)$. Or le point $(c, w(d) - 1)$ n'est pas dans D_{II} ; on a donc $r_\sigma(c, w(d) - 1) = r_w(c, w(d) - 1)$, une contradiction.

Ainsi, on a montré que $\phi^{-1}(\mathcal{N}_{\sigma,w}) \subseteq \mathcal{M}_\sigma$. Or d'après le lemme 3.7 et la proposition 3.9, ce sont deux variétés irréductibles de dimension $2r+t+s+3$; on en déduit donc $\phi^{-1}(\mathcal{N}_{\sigma,w}) = \mathcal{M}_\sigma$. Cela prouve le théorème 3.10. □

Corollaire 3.11. *(a) e_σ est un point singulier de X_w.*
(b) Si la configuration est mixte (i.e. si $r = 0$), X_σ est une composante irréductible de type S_1 de Sing X_w, la transversale étant isomorphe à $\mathcal{C}_{s+t+2,2}$.
(c) Si la configuration est pure (i.e. si $r \neq 0$ et $s = t = 0$), X_σ est une composante irréductible de type S_2 de Sing X_w, la transversale étant isomorphe à $\mathcal{K}_{2r+3}$.
(d) Si $rt \neq 0$ et $s = 0$ (resp. $rs \neq 0$ et $t = 0$) alors X_σ est contenu dans exactement une composante irréductible X_τ de Sing X_w, associée à une configuration I de w, et telle que $\mathcal{N}_{\tau,w} \simeq \mathcal{C}_{r+1,t+1}$ (resp. $\mathcal{N}_{\tau,w} \simeq \mathcal{C}_{s+1,r+1}$).
(e) Si $rst \neq 0$, alors X_σ est contenu dans exactement deux composantes irréductibles de Sing X_w, correspondant à des configurations I de w, et dont les transversales sont isomorphes à $\mathcal{C}_{r+1,t+1}$ et $\mathcal{C}_{s+1,r+1}$.

Preuve. Les trois premiers points résultent directement de la proposition 3.9 et du théorème 3.10.

Supposons maintenant $rt \neq 0$. Alors les points $(a, w(a))$ et $(c, w(c))$, la suite SO et la suite centrale forment une configuration I de w, non dégénérée. La permutation τ associée donne donc une composante irréductible du lieu singulier de X_w.

De plus, les graphes de τ et σ ne diffèrent qu'en les points dont les abscisses sont dans $\overline{\mathcal{C}} \cup \mathcal{X}_+ \cup \{d\}$; leurs ordonnées sont dans $\overline{\mathcal{D}} \cup \overline{\mathcal{Y}_+}$. Or sur ces points, τ induit la permutation maximale telle que $\tau(\overline{\mathcal{C}}) \subseteq \overline{\mathcal{D}} \cup \{w(b)\}$. Comme $\sigma(\overline{\mathcal{C}}) = \overline{\mathcal{D}}$, on obtient donc, en vertu du lemme 1.2, $\sigma \leq \tau$. On remarque de plus que $\ell(\tau) = \ell(w) - (r + t + 1)$.

De même, si $rs \neq 0$, les points $(b, w(b))$ et $(d, w(d))$, la suite centrale et la suite NE forment une configuration I non dégénérée de w. La permutation τ' associée donne une composante irréductible de Sing X_w, et l'on a $\sigma \leq \tau'$. Elle vérifie de plus $\ell(\tau') = \ell(w) - (r + s + 1)$.

Par ailleurs, on observe que si $rst \neq 0$, les permutations τ et τ' sont distinctes. Or, d'après la proposition 3.9 et le théorème 3.10, e_σ est contenu dans exactement une composante irréductible de Sing X_w lorsque $rt \neq 0$ et $s = 0$ ou lorsque $rs \neq 0$ et $t = 0$, et dans exactement deux lorsque $rst \neq 0$.

Cela achève la démonstration du corollaire. □

Remarque 3.12. Soit $\mathcal{I}$ une configuration I dégénérée de w. D'après le théorème 3.8, le point $e_{\tau(\mathcal{I})}$ est lisse dans X_w. On peut voir qu'il existe une configuration (3412) incompressible $\mathcal{II}$ telle que la permutation associée $\sigma(\mathcal{II})$ corresponde à une composante irréductible de Sing X_w, et vérifie $\tau(\mathcal{I}) > \sigma(\mathcal{II})$.

4 Quasi-résolutions des variétés de Schubert

Définition 4.1. On note Σ_w la réunion des composantes du lieu singulier exhibées à la section précédente.

On considère une permutation w non covexillaire. L'objet des deux dernières sections est de démontrer que $\Sigma_w =$ Sing X_w. A cet effet, nous allons introduire des quasi-résolutions des variétés de Schubert non covexillaires, c'est-à-dire des morphismes birationnels $P \times^Q X_y \longrightarrow X_w$ pour certains sous-groupes paraboliques $P \supseteq Q$ de G et certaines variétés de Schubert $X_y \subseteq X_w$. (Rappelons que, pour une variété algébrique X, munie d'une action d'un sous-groupe fermé Q d'un groupe algébrique P, on note $P \times^Q X$ le quotient du produit $P \times X$ sous l'action diagonale de Q : $q \cdot (p, x) = (pq^{-1}, qx)$ pour tous $q \in Q, p \in P$ et $x \in X$; voir [27], et aussi [1]. Une propriété cruciale de cette construction est que le morphisme $P \times^Q X \longrightarrow P/Q$ est une fibration localement triviale, de fibre X.)

On rappelle par ailleurs que, étant donné un morphisme birationnel $\pi : X \longrightarrow Y$ entre des variétés irréductibles, on définit l'ouvert $\mathrm{Reg}(\pi)$ de X comme l'ensemble des points admettant un voisinage ouvert U tel que π induise un isomorphisme de U sur $\pi(U)$. Le lieu exceptionnel de π, $\mathrm{Ex}(\pi)$, est le fermé complémentaire de $\mathrm{Reg}(\pi)$. D'autre part, on peut définir dans Y l'ouvert Reg_π comme l'ensemble des points admettant un voisinage V tel que π induise un isomorphisme de $\pi^{-1}(V)$ sur V. Alors π induit un isomorphisme de $\mathrm{Reg}(\pi)$ sur Reg_π. Si de plus π est surjectif, notant $\mathcal{E}_\pi = \pi(\mathrm{Ex}(\pi))$, $\mathcal{E}_\pi$ est le fermé complémentaire de Reg_π, et l'on a aussi $\pi^{-1}(\mathcal{E}_\pi) = \mathrm{Ex}(\pi)$.

Nous étudierons les lieux exceptionnels des quasi-résolutions, et leurs images, que nous relierons finalement à Σ_w.

Définition 4.2. Soit $\mathcal{II}$ une configuration (3412) de w, correspondant aux abscisses $a < b < c < d$. Notons $\alpha = w(a), \beta = w(b), \gamma = w(c), \delta = w(d)$.

- On associe à $\mathcal{II}$ la paire d'entiers suivante : sa hauteur $h(\mathcal{II}) = \alpha - \delta$

et son amplitude $am(\mathcal{II}) = \beta - \gamma$.

- On dit que $\mathcal{II}$ est *bien remplie* si $w^{-1}\big(]\delta, \alpha[\big) \subseteq\,]b, c[$.

Remarquons qu'il existe des configurations (3412) bien remplies : on voit facilement qu'une configuration (3412) de hauteur minimale est bien remplie.

On fixe une configuration (3412) de w, correspondant aux abscisses $a < b < c < d$, et aux ordonnées $\gamma < \delta < \alpha < \beta$, bien remplie et d'amplitude minimale (parmi les configurations bien remplies). On vérifie alors sans peine qu'elle est incompressible. On note simplement h sa hauteur.

On considère

$$\begin{aligned} \alpha' &= \max\{q \geq \alpha \mid \forall q' \in [\alpha, q[,\ w^{-1}(q'+1) < w^{-1}(q')\} \\ \delta' &= \min\{q \leq \delta \mid \forall q' \in]q, \delta],\ w^{-1}(q'-1) > w^{-1}(q')\}. \end{aligned}$$

Soit $I = \{s_{\delta'}, \ldots, s_{\alpha'-1}\}$, et pour $i = 1, \ldots, h$, soient $k_i = \delta' + \alpha' - \alpha + i - 1$ et $J_i = I \setminus \{s_{k_i}\}$. Notant w_I et w_{J_i} les permutations maximales des sous-groupes paraboliques de $\mathfrak{S}_n$ correspondants, on définit $w_i = w_{J_i} w_I w$. Comme w est maximal dans sa classe $\mathfrak{S}_I w$, w_i est maximal dans sa classe $\mathfrak{S}_{J_i} w_i$.

Exemple 4.3. On considère la permutation

$$w = (8, 7, 9, 6, 1, 11, 5, 4, 2, 10, 3) \in \mathfrak{S}_{11}$$

dont le graphe est représenté sur le premier diagramme ci-dessous. Les points d'abscisses 2,3,9,11 forment une configuration (3412) bien remplie et d'amplitude minimale (représentés par des $\oplus$ sur le diagramme). Cette configuration est de hauteur 4 ; on a $\delta = 3 = \delta', \alpha = 7, \alpha' = 8$.

Le second diagramme est le graphe de la permutation w_3 associée ; on a $k_3 = 6$.

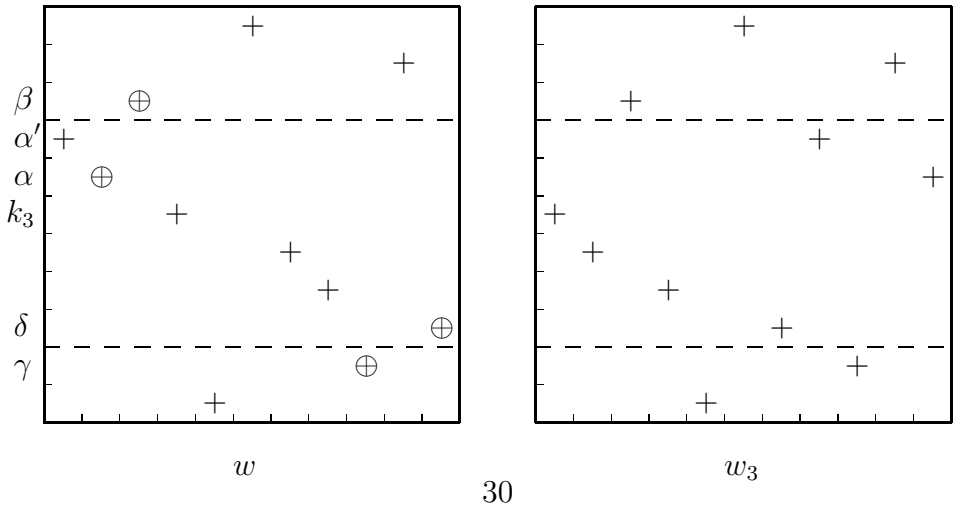

On définit enfin

$$Z_i = P_I \times^{P_{J_i}} X_{w_i},$$

et l'on note π_i l'application naturelle de Z_i dans G/B, définie par $\pi_i([p,x]) = px$, où $[p,x]$ est la classe du couple (p,x) de $P_I \times X_{w_i}$.

Proposition 4.4. *L'application π_i a pour image X_w, et la projection induite $\pi_i \ : \ Z_i \longrightarrow X_w$ est birationnelle.*

Preuve. L'image de π_i est $P_I X_{w_i}$, donc elle est contenue dans X_w. De plus π_i est un morphisme propre, car c'est le composé de l'injection naturelle de $P_I \times^{P_{J_i}} X_{w_i}$ dans $P_I \times^{P_{J_i}} G/B$ induite par l'inclusion de X_{w_i} dans G/B, suivi de l'isomorphisme $\begin{array}{ccc} P_I \times^{P_{J_i}} G/B & \longrightarrow & P_I/P_{J_i} \times G/B, \\ [p,x] & \longmapsto & (pP_{J_i}, px) \end{array}$ et enfin de la deuxième projection. L'image de π_i est donc fermée. Or elle contient $P_I e_{w_i}$, dense dans X_w, on a donc $\pi_i(Z_i) = X_w$.

Soit maintenant $z_i = [w_I w_{J_i}, e_{w_i}] \in Z_i$, l'orbite Uz_i est un ouvert dense de Z_i, et il résulte de la décomposition de Bruhat que π_i induit un isomorphisme $Uz_i \longrightarrow Ue_w$, ainsi π_i est birationnelle. □

Remarquons néanmoins que la variété Z_i n'est en général pas lisse, on l'appelle donc quasi-résolution de X_w. On peut décrire Z_i de manière plus explicite, via l'isomorphisme $P_I \times^{P_{J_i}} G/B \longrightarrow P_I/P_{J_i} \times G/B$ évoqué plus haut ; l'image de Z_i est

$$\begin{aligned} \{(U^{k_i}, V^\bullet) \in Gr_{k_i}(n) \times X_w \,|\, \mathbb{K}^{\delta'-1} \subseteq U^{k_i} \subseteq \mathbb{K}^{\alpha'} \text{ et} \\ \dim(V^p \cap U^{k_i}) \geq r_{w_i}(p,k_i) \text{ pour tout } p\} \end{aligned}$$

où $Gr_{k_i}(n)$ désigne la grassmannienne des k_i-plans dans $\mathbb{K}^n$.

On va décrire l'image du lieu exceptionnel de chaque π_i et établir les deux propositions suivantes :

Proposition 4.5. *L'intersection des images des lieux exceptionnels des π_i, pour i parcourant l'intervalle $[1,h]$, est contenue dans Σ_w.*

Proposition 4.6. *Pour toute configuration $\mathcal{K}$ de w_i, de type I ou II, paramétrant une composante irréductible X_v du lieu singulier de X_{w_i}, on a :*

- *ou bien $P_I \times^{P_{J_i}} X_v \subseteq Ex(\pi_i)$,*
- *ou bien $w_I w_{J_i}(\mathcal{K})$ est une configuration du même type de w, et $\pi_i(P_I \times^{P_{J_i}}$*

$X_v) = X_{w_I w_{J_i} v}$ est la composante irréductible du lieu singulier de X_w associée (où $w_I w_{J_i}(\mathcal{K})$ désigne l'ensemble des points $(x, w(x))$ tels que $(x, w_i(x)) \in \mathcal{K}$).

Nous renvoyons les démonstrations de ces propositions à la section suivante, pour donner dès à présent la preuve du

Théorème principal. *Le lieu singulier de X_w est la réunion des composantes décrites dans la section* 3.2. *En particulier, les singularités génériques sont de type S_1 ou S_2, c'est-à-dire soit un cône de matrices de rang au plus* 1, *soit un cône quadratique non dégénéré de dimension impaire $d \geq 5$.*

Preuve. Nous allons procéder par récurrence sur la dimension de X_w pour montrer que Sing $X_w = \Sigma_w$. On peut supposer $n \geq 4$ puisque les variétés de Schubert de GL_3/B sont lisses. L'énoncé a été établi dans le cas des variétés covexillaires dans [5].

On suppose maintenant l'égalité démontrée pour toute variété de Schubert de dimension $\leq k-1$, et on se donne X_w de dimension k. On peut supposer w non covexillaire. On fixe alors une configuration (3412) de w, bien remplie et d'amplitude minimale, et on considère les quasi-résolutions de X_w associées. Etant donné une composante irréductible X_v de Sing X_w, ou bien $X_v \subseteq \bigcap_{i=1}^{h} \mathcal{E}_{\pi_i}$, ou bien il existe un entier i tel que $X_v \not\subseteq \mathcal{E}_{\pi_i}$. Dans le premier cas, on obtient $X_v \subseteq \Sigma_w$, d'après la proposition 4.5.

Dans le second cas, considérons l'ouvert Reg_{π_i}. Nous utiliserons le fait suivant : si Ω est un ouvert d'une variété X, les composantes irréductibles de Sing X qui rencontrent Ω sont en bijection avec les composantes irréductibles de Sing Ω, par l'application $Y \longmapsto Y \cap \Omega$.

Ici, la composante irréductible X_v de Sing X_w rencontre Reg_{π_i}, donc $X_v \cap \mathrm{Reg}_{\pi_i}$ est une composante irréductible de Sing Reg_{π_i}. Comme π_i induit un isomorphisme de $\mathrm{Reg}(\pi_i)$ sur Reg_{π_i}, $\pi_i^{-1}(X_v \cap \mathrm{Reg}_{\pi_i})$ est une composante irréductible de Sing $\mathrm{Reg}(\pi_i)$. Il existe alors, d'après le fait évoqué plus haut, une composante irréductible Y de Sing Z_i telle que $\pi_i^{-1}(X_v \cap \mathrm{Reg}_{\pi_i}) = Y \cap \mathrm{Reg}(\pi_i)$. Par ailleurs, comme la projection de Z_i sur P_I/P_{J_i} est une fibration localement triviale de fibre X_{w_i}, les composantes irréductibles de Sing Z_i sont les $P_I \times^{P_{J_i}} X_{v_i}$, avec X_{v_i} composante irréductible de Sing X_{w_i}. Ainsi, il existe une composante irréductible X_{v_i} de Sing X_{w_i} telle que $Y = P_I \times^{P_{J_i}} X_{v_i}$. Il vient alors, comme π_i est surjective et propre, $X_v = \pi_i(P_I \times^{P_{J_i}} X_{v_i})$. Par hypothèse de récurrence, on a Sing $X_{w_i} = \Sigma_{w_i}$, donc il existe une configuration $\mathcal{K}$ de w_i telle que $v_i = \gamma(\kappa) w_i$. Il résulte alors de la proposition 4.6 que $X_v = X_{w_I w_{J_i} v_i} \subseteq \Sigma_w$. Le théorème est démontré. $\square$

Remarque 4.7. Le théorème précédent, combiné avec [3], 3.3 et 4.6, permet de déterminer, pour chaque composante irréductible X_v de Sing X_w, le polynôme de Kazhdan-Lusztig $P_{v,w}$ et la multiplicité de X_w en e_v, notée $m_{v,w}$ (on renvoie par exemple à [22], chap.5, 14 pour cette notion). Si $\mathcal{N}_{v,w} \simeq \mathcal{C}_{i+1,j+1}$ alors

$$m_{v,w} = \begin{pmatrix} i+j \\ i \end{pmatrix} \quad \text{et} \quad P_{v,w} = 1 + q + \ldots + q^u,$$

où $u = \text{Min}\,(i,j)$, tandis que si $\mathcal{N}_{v,w} \simeq \mathcal{K}_{2k+1}$, alors

$$m_{v,w} = 2 \quad \text{et} \quad P_{v,w} = 1 + q^k.$$

Exemple 4.8. On considère la permutation

$$w = (5, 10, 7, 2, 9, 8, 1, 6, 3, 4)$$

dans $\mathfrak{S}_{10}$.

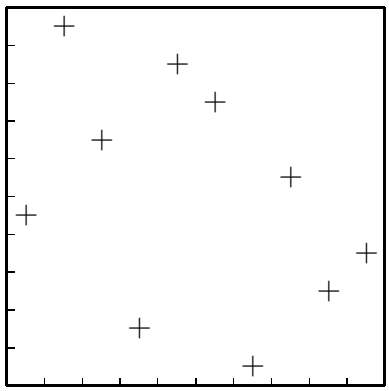

Il y a deux points coessentiels bien bordés $P_1 = (5,5)$ et $P_2 = (5,7)$; P_1 admet trois bordages minimaux, donnés par les couples de points d'abscisses $(3,7)$, $(3,9)$ et $(3,10)$, tous dégénérés (l'un au Nord-Est, les deux autres au Sud-Ouest). Le point P_2 admet deux bordages minimaux, donnés par les couples de points d'abscisses $(2,7)$ et $(2,8)$, non dégénérés, qui donnent deux composantes de type S_1. D'autre part, les configurations (3412)

incompressibles sont d'abscisses

$$\begin{array}{l} 1,3,4,9 \\ 1,3,4,10, \\ 1,6,7,9, \\ 1,6,7,10, \\ 1,8,9,10, \\ 3,6,7,8, \\ 3,6,9,10\ (*). \end{array}$$

Elles donnent toutes des configurations II mixtes, sauf celle qui est marquée d'une $(*)$, qui donne une configuration II pure.

Le lieu singulier de X_w a donc 9 composantes irréductibles. Elles sont données dans le tableau ci-après. Dans la colonne de gauche, on a écrit les configurations, données par les ordonnées des points, dans l'ordre des abscisses croissantes, ainsi que le type de la configuration. Pour les configurations I, les ordonnées $y_{-\infty}$ et y_∞ sont marquées en gras ; pour les configurations II, les ordonnées des points de la configuration (3412) sont indiquées en gras. La composante irréductible correspondante v est donnée dans la deuxième colonne ; les points où elle diffère de w sont en gras. Dans les quatre colonnes suivantes, on donne la classe d'isomorphisme de la transversale, sa dimension $d = \dim \mathcal{N}_{v,w} = \ell(w) - \ell(v)$, le polynôme de Kazhdan-Lusztig $P_{v,w}$, et enfin la multiplicité $m_{v,w}$.

	Configuration	v	$\mathcal{N}_{v,w}$	d	$P_{v,w}$	$m_{v,w}$
I	$\mathbf{10},7,2,9,8,\mathbf{1}$	$(5,\mathbf{7},\mathbf{2},\mathbf{1},\mathbf{10},\mathbf{9},\mathbf{8},6,3,4)$	$\mathcal{C}_{3,3}$	5	$1+q+q^2$	6
I	$\mathbf{10},7,9,8,\mathbf{6}$	$(5,\mathbf{7},\mathbf{6},2,\mathbf{10},\mathbf{9},1,\mathbf{8},3,4)$	$\mathcal{C}_{2,3}$	4	$1+q$	3
II_m	$\mathbf{5},\mathbf{7},\mathbf{2},6,\mathbf{3}$	$(\mathbf{2},10,\mathbf{5},\mathbf{3},9,8,1,\mathbf{7},\mathbf{6},4)$	$\mathcal{C}_{3,2}$	4	$1+q$	3
II_m	$\mathbf{5},\mathbf{7},\mathbf{2},6,\mathbf{4}$	$(\mathbf{2},10,\mathbf{5},\mathbf{4},9,8,1,\mathbf{7},3,\mathbf{6})$	$\mathcal{C}_{3,2}$	4	$1+q$	3
II_m	$\mathbf{5},\mathbf{8},\mathbf{1},6,\mathbf{3}$	$(\mathbf{1},10,7,2,9,\mathbf{5},\mathbf{3},\mathbf{8},\mathbf{6},4)$	$\mathcal{C}_{3,2}$	4	$1+q$	3
II_m	$\mathbf{5},\mathbf{8},\mathbf{1},6,\mathbf{4}$	$(\mathbf{1},10,7,2,9,\mathbf{5},\mathbf{4},\mathbf{8},3,\mathbf{6})$	$\mathcal{C}_{3,2}$	4	$1+q$	3
II_m	$\mathbf{5},\mathbf{6},\mathbf{3},\mathbf{4}$	$(\mathbf{3},10,7,2,9,8,1,\mathbf{5},\mathbf{4},\mathbf{6})$	$\mathcal{C}_{2,2}$	3	$1+q$	2
II_m	$\mathbf{7},2,\mathbf{8},\mathbf{1},\mathbf{6}$	$(5,10,\mathbf{2},\mathbf{1},9,\mathbf{7},\mathbf{6},\mathbf{8},3,4)$	$\mathcal{C}_{3,2}$	4	$1+q$	3
II_p	$\mathbf{7},\mathbf{8},6,\mathbf{3},\mathbf{4}$	$(5,10,\mathbf{3},2,9,\mathbf{7},1,6,\mathbf{4},\mathbf{8})$	$\mathcal{K}_5$	5	$1+q^2$	2

5 Preuve des propositions 4.5 et 4.6

Dans cette dernière section, nous démontrons les propositions 4.5 et 4.6. Pour cela, on va d'abord décrire, pour chaque entier i, les composantes irréductibles de l'image du lieu exceptionnel de π_i.

5.1 Un lemme

En vue de cette description, on commence par établir un lemme, dû à P. Polo. Soient $z \in \mathfrak{S}_n$ et $j \in [1, n-1]$ tels que $z < s_j z$. A chaque point (b', β') de la frontière Sud-Est de $\Gamma_z \cap \{(p,q) \mid p < z^{-1}(j),\ q > j+1\}$, on associe une permutation $\theta_{b'}$, dite de type Nord-Ouest, définie comme suit : on note $y_1 < \cdots < y_s$ les ordonnées des points de la frontière Sud-Ouest de l'ensemble $\Gamma_z \cap \mathcal{R}^{(j+1,\beta')}(z)$. La permutation $\theta_{b'}$ associée est

$$\theta_{b'} = (j+1, y_1)(y_1, y_2) \cdots (y_{s-1}, y_s)(y_s, \beta')z.$$

De façon similaire, à chaque point (c', γ') de la frontière Nord-Ouest de $\Gamma_z \cap \{(p,q) \mid p > z^{-1}(j+1),\ q < j\}$, on associe une permutation $\theta_{c'}$, dite de type Sud-Est : on note $y_{-t} < \cdots < y_{-1}$ les ordonnées des points de la frontière Nord-Est de l'ensemble $\Gamma_z \cap \mathcal{R}^{(\gamma',j)}(z)$, et la permutation $\theta_{c'}$ associée est

$$\theta_{c'} = (j, y_{-1})(y_{-1}, y_{-2}) \cdots (y_{-t}, \gamma')z.$$

Enfin, si $\big((b', \beta'), (c', \gamma')\big)$ est un couple de points de Γ_z vérifiant

$$z^{-1}(j) < b' < c' < z^{-1}(j+1),\ \gamma' < j \text{ et } j+1 < \beta',$$

et tels que le rectangle $\mathcal{R}_{(b',c')}(z)$ ne contienne pas de point du graphe de z, on lui associe une permutation $\theta_{(b',c')}$, dite de type mixte : on définit les ordonnées $y_1 < \cdots < y_s$ et $y_{-t} < \cdots < y_{-1}$ comme ci-dessus, et la permutation $\theta_{(b',c')}$ est alors

$$\theta_{(b',c')} = \big[(j+1, y_1)(y_1, y_2) \cdots (y_{s-1}, y_s)(y_s, \beta')\big]\big[(j, y_{-1})(y_{-1}, y_{-2}) \cdots (y_{-t}, \gamma')\big]z.$$

On a alors le

Lemme 5.1. *Soient $z \in \mathfrak{S}_n$ et $j \in [1, n-1]$ tels que $z < s_j z$. Les éléments maximaux de $\{\theta \in \mathfrak{S}_n \mid \theta < z \text{ et } s_j\theta < \theta\}$ sont précisément les permutations décrites ci-avant.*

Preuve. On construit pour commencer un "ordre de réflexion" sur l'ensemble des transpositions de $\mathfrak{S}_n$ (*cf.* [8]). On considère la permutation σ_j définie par la décomposition réduite $\sigma_j = s_{j-1} \dots s_1 \, s_{j+1} \dots s_{n-1}$. On considère une décomposition réduite $s_{i_1} \cdots s_{i_N}$ de w_0, l'élément de plus grande longueur de $\mathfrak{S}_n$, obtenue par concaténation de celle de σ_j ci-dessus et d'une décomposition réduite de $\sigma_j^{-1} w_0$. D'après [8], prop. 2.13, en posant pour $k = 1, \dots, N$, $t_k = (s_{i_1} \cdots s_{i_{k-1}}) \, s_{i_k} \, (s_{i_{k-1}} \cdots s_{i_1})$, l'ordre défini par $t_1 \prec \cdots \prec t_N$ est un ordre de réflexion. On a,

$$\begin{array}{ll} \text{pour } k = 1, \dots, j-1, & t_k = (j-k, j), \\ \text{pour } k = j, \dots, n-2, & t_k = (j+1, k+2). \end{array}$$

Cet ordre étant construit, on considère une permutation θ telle que $\theta < z$ et $s_j \theta < \theta$, maximale pour cette propriété. Soit $k = \ell(z) - \ell(\theta)$, d'après [8], prop. 4.3, il existe des transpositions $t_{l_1} \prec \cdots \prec t_{l_k}$ telles que $\theta = t_{l_k} \cdots t_{l_1} z$, avec pour tout $p = 1, \dots, k$, $\ell(t_{l_p} \cdots t_{l_1} z) = \ell(z) - p$. Or on observe que l'on a $t_{l_k} \in \{t_1, \dots, t_{n-2}\}$: c'est évident si $k = 1$, et cela résulte de la maximalité de θ sinon. Alors, comme cet ensemble de réflexions est un idéal pour l'ordre $\prec$, on en déduit que $t_{l_p} \in \{t_1, \dots, t_{n-2}\}$ pour tout $p = 1, \dots, k$. Plus précisément, il existe des entiers $q_1 < \cdots < q_m$ et $q'_1 < \cdots < q'_{m'}$, avec $m, m' \geq 0$, et $m + m' = k$, tels que

$$\left\{ \begin{array}{lll} t_{l_p} & = (j - q_p, j) & \text{pour } p = 1, \dots, m, \\ t_{l_{m+p}} & = (j+1, j+1+q'_p) & \text{pour } p = 1, \dots, m'. \end{array} \right.$$

Supposons d'abord $m' = 0$. Alors le fait que $s_j \theta < \theta$ entraîne $z^{-1}(j - q_k) > z^{-1}(j+1)$. Puis, par maximalité de θ, on obtient au contraire $z^{-1}(j - q_{k-1}) < z^{-1}(j+1)$. Enfin, comme la longueur diminue de 1 à chaque étape élémentaire du produit $t_{l_k} \cdots t_{l_1} z$, on a $z^{-1}(j) < z^{-1}(j - q_1) < \cdots < z^{-1}(j - q_k)$, et de plus, posant $q_0 = 0$, on a

$$\Gamma_z \cap \big( ] \, z^{-1}(j - q_p), z^{-1}(j - q_{p+1}) \, [\times] \, j - q_{p+1}, j \, [\, \big) = \emptyset$$

pour $p = 0, \dots, k-1$. Il en résulte que le point $(z^{-1}(j - q_k), j - q_k)$ est dans la frontière Nord-Ouest de $\Gamma_z \cap \{(p, q) \mid p > z^{-1}(j+1), q < j\}$, et que les points $(z^{-1}(j - q_p), j - q_p)$, pour $p = 1, \dots, k-1$ forment la frontière Nord-Est de $\Gamma_z \cap \mathcal{R}^{(j - q_k, j)}(z)$. Ainsi θ est une permutation de type Nord-Ouest. On procède de même lorsque $m = 0$ pour montrer que θ est une permutation de type Sud-Est.

Supposons maintenant $mm' \neq 0$. Alors, le fait que $s_j\theta < \theta$ entraîne $z^{-1}(j+1+q'_{m'}) < z^{-1}(j-q_m)$. Puis, par maximalité de θ, on obtient $z^{-1}(j-q_{m-1}) < z^{-1}(j+1+q'_{m'})$ et $z^{-1}(j-q_m) < z^{-1}(j+1+q'_{m'-1})$. Et, pour terminer, comme la longueur diminue de 1 à chaque étape élémentaire du produit $t_{l_k}\cdots t_{l_1}z$, on a d'abord $z^{-1}(j) < z^{-1}(j-q_1) < \cdots < z^{-1}(j-q_m)$, et $z^{-1}(j+1+q'_{m'}) < \cdots < z^{-1}(j+1+q'_1) < z^{-1}(j+1)$, et de plus, posant $q_0 = q'_0 = 0$, l'on a

$$\Gamma_z \cap \big(\,]\,z^{-1}(j-q_p), z^{-1}(j-q_{p+1})\,[\times]\,j-q_{p+1}, j\,[\,\big) = \emptyset \quad \text{pour } p = 0,\ldots,m-1,$$

$$\Gamma_z \cap \big(\,]\,z^{-1}(j+1+q'_{p+1}), z^{-1}(j+1+q'_p)\,[\times]\,j+1, j+1+q'_{p+1}\,[\,\big) = \emptyset \quad \text{pour } p = 0,\ldots,m'-1.$$

On en déduit que θ est une permutation de type mixte.

Réciproquement, il est clair que si θ est une permutation de l'un des types décrits avant l'énoncé, elle vérifie $s_j\theta < \theta$. De plus, si $\theta_{b'}$ est de type Nord-Ouest, associée au point (b', β'), les points de Γ_z d'ordonnées

$$j+1 < y_1 < \cdots < y_s < \beta'$$

forment une configuration I dégénérée au Sud-Ouest, et $\theta_{b'}$ est la permutation associée. La région de $[1,n]^2$ associée comme en 2.2 est ici notée D_{NO}. On a alors, d'après le lemme 2.3,

$$r_{\theta_{b'}} = r_z + \chi_{D_{NO}} \quad (1),$$

d'où en particulier $\theta \leq z$. De même, si $\theta_{c'}$ est de type Sud-Est, associée au point (c', γ'), les points de Γ_z d'ordonnées

$$\gamma' < y_{-t} < \cdots < y_{-1} < j$$

forment une configuration I dégénérée au Nord-Est, et $\theta_{c'}$ est la permutation associée. La région de $[1,n]^2$ associée comme en 2.2 est ici notée D_{SE}. On a

$$r_{\theta_{c'}} = r_z + \chi_{D_{SE}} \quad (2).$$

Enfin, si $\theta_{(b',c')}$ est de type mixte, associée au couple $\big((b',\beta'),(c',\gamma')\big)$, alors d'une part les points de Γ_z d'ordonnées

$$j+1 < y_1 < \cdots < y_s < \beta'$$

forment une configuration I dégénérée au Sud-Ouest, et l'on définit comme ci-dessus la région D_{NO}. D'autre part, les points de Γ_z d'ordonnées

$$\gamma' < y_{-t} < \cdots < y_{-1} < j$$

forment une configuration I dégénérée au Nord-Est, et l'on définit comme ci-dessus la région D_{SE}. On pose alors $D_M = D_{NO} \cup D_{SE}$, et l'on a

$$r_{\theta_{(b',c')}} = r_z + \chi_{D_M} \quad (3).$$

Il résulte alors de (1), (2) et (3) que les différents θ sont deux à deux incomparables. Le lemme est démontré. □

5.2 Le lieu exceptionnel Ex(π_i)

On revient maintenant à la situation de la section 4, avec les mêmes notations. Etant donné $i \in [1, h]$, on note $\partial NO(i)$ la frontière Sud-Est de

$$NO(i) = \Gamma_w \cap \{(p, q) \mid p < w^{-1}(\alpha - i + 1),\ q > \alpha'\},$$

et $\partial SE(i)$ la frontière Nord-Ouest de

$$SE(i) = \Gamma_w \cap \{(p, q) \mid p > w^{-1}(\alpha - i),\ q < \delta'\}.$$

A chaque point (b', β') de $\partial NO(i)$ on associe la permutation $t^i(b')$, dite de type Nord-Ouest, décrite comme suit. Soit $\tilde{\alpha}_{b'}$, le plus grand entier de l'intervalle $[\,\alpha - i + 1, \alpha'\,]$ tel que $b' < w^{-1}(\tilde{\alpha}_{b'})$; si l'ensemble $\Gamma_w \cap \{(p, q) \mid w^{-1}(\alpha - i + 1) < p < w^{-1}(\alpha - i),\ \alpha' < q < \beta'\}$ est non vide, on note $x_s < \cdots < x_1$ les abscisses des points de sa frontière Sud-Ouest. Alors les points d'abscisses

$$b' < w^{-1}(\tilde{\alpha}_{b'}) < \cdots < w^{-1}(\alpha - i + 1) < x_s < \cdots < x_1 < w^{-1}(\alpha - i)$$

forment une configuration I de w, éventuellement dégénérée au Nord-Est, notée $\mathcal{I}$, et l'on pose $t^i(b') = \tau(\imath)$.

Exemple 5.2. On reprend la permutation $w = (8, 7, 9, 6, 1, 11, 5, 4, 2, 10, 3)$ de l'exemple 4.3, et la configuration (3412) bien remplie et d'amplitude minimale donnée par les points d'abscisses 2,3,9,11.

Fixons $i = 4$: l'ensemble $\partial NO(4)$ est constitué des deux points du graphe d'abscisse respective 3 et 6. Prenons pour notre exemple $b' = 6$. Les points de la configuration I qui permet de définir $t^4(6)$ sont représentés par des $\oplus$ sur le diagramme.

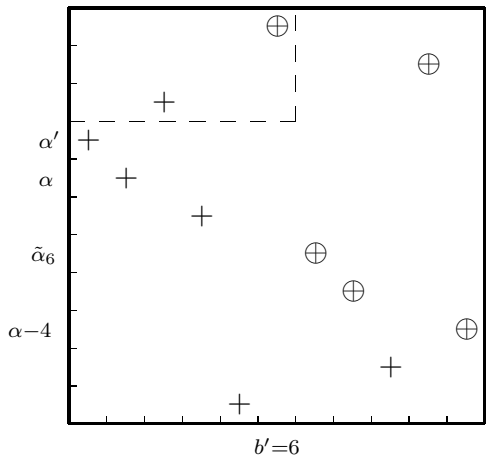

De manière analogue, à chaque point (c', γ') de $\partial SE(i)$, on associe la permutation $t_i(c')$, dite de type Sud-Est, décrite comme suit. Soit $\tilde{\delta}_{c'}$, le plus petit entier de $[\,\delta', \alpha - i\,]$ tel que $w^{-1}(\tilde{\delta}_{c'}) < c'$; si l'ensemble $\Gamma_w \cap \{(p,q) \mid w^{-1}(\alpha - i + 1) < p < w^{-1}(\alpha - i),\ \gamma' < q < \delta'\}$ est non vide, on note $x_{-1} < \cdots < x_{-t}$ les points de sa frontière Nord-Ouest. Alors les points d'abscisses

$$w^{-1}(\alpha - i + 1) < x_{-1} < \cdots < x_{-t} < w^{-1}(\alpha - i) < \cdots < w^{-1}(\tilde{\delta}_{c'}) < c'$$

forment une configuration I de w, éventuellement dégénérée au Sud-Ouest, notée $\mathcal{I}'$, et l'on pose $t_i(c') = \tau(\mathcal{I}')$.

Enfin, si $w^{-1}(\alpha - i + 1) < b' < c' < w^{-1}(\alpha - i)$ est une configuration (3412) incompressible de w, notée $\mathcal{II}$, on note $m_i(b', c')$ la permutation $\sigma(\mathcal{II})$, dite de type mixte.

Proposition 5.3. *Soit $i \in [1, h]$. Les composantes irréductibles de $\mathcal{E}_{\pi_i}$, l'image du lieu exceptionnel $Ex(\pi_i)$, correspondent exactement aux permutations $t^i(b')$, $t_i(c')$ et $m_i(b', c')$ décrites ci-dessus.*

Preuve. Puisque π_i est propre, l'ensemble des $x \in X_w$ dont la fibre $\pi_i^{-1}(\{x\})$ est finie est un ouvert de X_w (voir, par exemple, [14], Prop. 6.4.5). Puis, comme π_i est birationnelle et que X_w est normale (voir, par exemple, [25]), on déduit du théorème principal de Zariski que l'image du lieu exceptionnel de π_i, $\mathcal{E}_{\pi_i}$, est égale à

$$\{x \in X_w \mid \#\pi_i^{-1}(\{x\}) > 1\}.$$

Le morphisme π_i est P_I-équivariant, donc les composantes irréductibles de $\mathcal{E}_{\pi_i}$ sont des variétés de Schubert X_v avec $v \leq w,\ v \in {}^I\mathfrak{S}_{max}$. On se donne une telle composante X_v, et l'on note $\mathcal{V}_1, \ldots, \mathcal{V}_m$ les composantes irréductibles de $\pi_i^{-1}(X_v)$. Elles sont toutes de la forme $P_I \times^{P_{J_i}} X_{t_j}$, avec $t_j < w_i,\ t_j \in {}^{J_i}\mathfrak{S}_{max}$. Comme π_i est surjective et propre, on a

$$X_v = \bigcup_{j=1}^{m} \pi_i(\mathcal{V}_j)$$

et chaque $\pi_i(\mathcal{V}_j)$ est fermé. Or X_v est irréductible, il existe donc j tel que $X_v = \pi_i(\mathcal{V}_j)$; un tel j est unique. En effet, t_j est une permutation maximale telle que $t_j \leq w_i, t_j \in {}^{J_i}\mathfrak{S}_{max}$ et $t_j \in \mathfrak{S}_I v$. Comme $v, w \in {}^I\mathfrak{S}_{max}$ et $v \leq w$, d'après un lemme de Deodhar (voir [15], Lemma 11.1), il existe un unique $t \in \mathfrak{S}_I v$ tel que $t \leq w_i$, maximal pour cette propriété. Il vient alors $t \in {}^{J_i}\mathfrak{S}_{max}$. Ainsi $t_j = t$ est unique ; on peut supposer $j = 1$. Soit $\theta_1 = w_{J_i} t_1$, le représentant minimal de $\mathfrak{S}_{J_i} t_1$. On a ainsi

$$\dim(P_I \times^{P_{J_i}} X_{t_1}) = \dim(P_I/P_{J_i}) + \dim(X_{t_1}) = \ell(w_I) + \ell(\theta_1),$$

et

$$X_v = \pi_i(P_I \times^{P_{J_i}} X_{t_1}) = X_{w_I * \theta_1}$$

(l'égalité $\pi_i(P_I \times^{P_{J_i}} X_{t_1}) = X_{w_I*\theta_1}$ se démontre par le même argument que l'égalité $\pi(Z_i) = X_w$ de la proposition 4.4). On en déduit que $\theta_1 \notin {}^I\mathfrak{S}_{min}$. En effet, supposons au contraire $\theta_1 \in {}^I\mathfrak{S}_{min}$, il vient $\dim(X_v) = \dim(P_I \times^{P_{J_i}} X_{t_1})$. Alors si $z \in \pi_i^{-1}(e_v)$, l'orbite $U\,z$ est un ouvert dense de $P_I \times^{P_{J_i}} X_{t_1}$. Il en résulte que la fibre $\pi_i^{-1}(e_v)$ est un singleton, et l'on a alors $X_v \not\subseteq \mathcal{E}_{\pi_i}$, une contradiction. On a donc $\theta_1 \notin {}^I\mathfrak{S}_{min}$, ce qui équivaut, comme $\theta_1 \in {}^{J_i}\mathfrak{S}_{min}$, à $s_{k_i}\theta_1 < \theta_1$. Finalement, on a montré que $v = w_I * \theta$, avec $\theta < w_I w,\ \theta \in {}^{J_i}\mathfrak{S}_{min}$, et $s_{k_i}\theta < \theta$.

Réciproquement, si l'on se donne un tel θ, on a $w_{J_i}\theta < w_i,\ \pi_i(P_I \times^{P_{J_i}} X_{w_{J_i}\theta}) = X_{w_I*\theta}$, et $\dim(P_I \times^{P_{J_i}} X_{w_{J_i}\theta}) = \ell(w_I) + \ell(\theta) > \ell(w_I * \theta)$ puisque $\theta \notin {}^I\mathfrak{S}_{min}$. Il en résulte que $X_{w_I*\theta}$ est contenu dans l'image du lieu exceptionnel de π_i.

Ainsi, $\mathcal{E}_{\pi_i}$ est la réunion des $X_{w_I*\theta}$ pour θ comme ci-dessus. Comme de plus on a $w_I*\theta \leq w_I*\theta'$ si $\theta \leq \theta'$, on peut se restreindre aux tels θ maximaux.

En appliquant le lemme 5.1 à $z = w_I w$ et $j = k_i$, on obtient la description de l'ensemble $\mathrm{Max}_{k_i}(w_I w)$ des éléments maximaux de $\{u \in \mathfrak{S}_n \mid u < w_I w \text{ et } s_{k_i} u < u\}$. Comme $w_I w \in {}^I\mathfrak{S}_{min}$, on a

$$(w_I w)^{-1}(\delta') < \cdots < (w_I w)^{-1}(\alpha').$$

D'après le lemme 5.1, tout élément u de $\mathrm{Max}_{k_i}(w_I w)$ vérifie les conditions suivantes :

$$\begin{cases} u^{-1}(j) & = & (w_I w)^{-1}(j) \text{ pour tout } j \in [\delta', \alpha'],\ j \neq k_i,\ k_i+1, \\ u^{-1}(k_i) & \geq & (w_I w)^{-1}(k_i), \\ u^{-1}(k_i+1) & \leq & (w_I w)^{-1}(k_i+1). \end{cases}$$

On en déduit en particulier que $u^{-1}(\delta') < \cdots < u^{-1}(k_i)$, et $u^{-1}(k_i+1) < \cdots < u^{-1}(\alpha')$, c'est-à-dire que $u \in {}^{J_i}\mathfrak{S}_{min}$. L'ensemble $\mathrm{Max}_{k_i}(w_I w)$ coïncide donc avec l'ensemble des θ maximaux cherchés.

Il reste maintenant à décrire explicitement les $w_I * \theta$. Remarquons que ce sont les représentants maximaux des classes $\mathfrak{S}_I\theta$, et qu'ils sont aisément décrits à partir des θ : $(w_I * \theta)^{-1}$ coïncide avec θ^{-1} en dehors de $[\delta', \alpha']$, et $(w_I * \theta)^{-1}$ est décroissante sur $[\delta', \alpha']$.

Voyons d'abord le cas des permutations θ de type Nord-Ouest. On rappelle que $k_i = \delta' + \alpha' - \alpha + i - 1$, et l'on remarque que

$$(w_I w)^{-1}(k_i) = w^{-1}(\alpha - i + 1) \text{ et } (w_I w)^{-1}(k_i+1) = w^{-1}(\alpha - i).$$

De plus, on a $(w_I w)^{-1}([k_i+1, \alpha']) \subseteq [(w_I w)^{-1}(k_i+1), n]$, donc il n'y a pas de point du graphe de $w_I w$ dans le rectangle $[1, (w_I w)^{-1}(k_i)] \times [k_i+1, \alpha']$. On a ainsi

$$\Gamma_{w_I w} \cap \{(p,q) \mid p < (w_I w)^{-1}(k_i), q > k_i + 1\} = \\ \Gamma_{w_I w} \cap \{(p,q) \mid p < (w_I w)^{-1}(k_i), q > \alpha'\}.$$

Comme les graphes de w et $w_I w$ coïncident pour les ordonnées de $]\,\alpha', n]$, on obtient finalement

$$\Gamma_{w_I w} \cap \{(p,q) \mid p < (w_I w)^{-1}(k_i), q > \alpha'\} = NO(i),$$

$NO(i)$ étant défini avant l'énoncé de la proposition.

Soit alors (b', β') un point de $\partial NO(i)$; notons (x_i, y_i), pour $i = 1, \ldots, s$, les coordonnées des points de la frontière Sud-Ouest de $\Gamma_{w_I w} \cap \mathcal{R}^{(k_i+1, \beta')}(w_I w)$, avec $x_s < \cdots < x_1$. Comme $(w_I w)^{-1}$ est croissante sur l'intervalle $[\delta', \alpha']$, il n'y a pas de point du graphe de $w_I w$ dans $]\,b', (w_I w)^{-1}(k_i+1)\,[\times]\,k_i+1, \alpha'\,[$, *i.e.* dans $]\,b', w^{-1}(\alpha - i)\,[\times]\,k_i+1, \alpha'\,[$. De plus, comme (b', β') est un point de la frontière Sud-Est de $NO(i)$, il n'y a pas non plus de point de $\Gamma_{w_I w}$ dans $]\,b', w^{-1}(\alpha - i + 1)\,[\times]\,\alpha', \beta'\,[$. Il vient donc

$$\Gamma_{w_I w} \cap \mathcal{R}^{(k_i+1, \beta')}(w_I w) \subseteq]\,w^{-1}(\alpha - i + 1), w^{-1}(\alpha - i)\,[\times]\,\alpha', \beta'\,[,$$

cet ensemble est donc formé de points du graphe de w. Soit $\tilde{\alpha}_{b'}$ le plus grand entier de l'intervalle $[\alpha - i + 1, \alpha']$ tel que $b' < w^{-1}(\tilde{\alpha}_{b'})$. Alors on vérifie que les points d'abscisses $b' < w^{-1}(\tilde{\alpha}_{b'}) < \cdots < w^{-1}(\alpha - i + 1) < x_s < \cdots < x_1 < w^{-1}(\alpha - i)$ forment une configuration I de w, notée $\mathcal{I}$, et que $w_I * \theta = \tau(\mathcal{I})$.

Le cas des permutations de type Sud-Est se traite de manière analogue.

Soit maintenant θ une permutation de type mixte, associée à un couple $\big((b', \beta'), (c', \gamma')\big)$ de points du graphe de $w_I w$ vérifiant

$$(w_I w)^{-1}(k_i) < b' < c' < (w_I w)^{-1}(k_i + 1),$$

c'est-à-dire

$$w^{-1}(\alpha - i + 1) < b' < c' < w^{-1}(\alpha - i),$$

et

$$\gamma' < k_i \quad \text{et} \quad k_i + 1 < \beta'.$$

On suppose aussi que le rectangle $\mathcal{R}_{(b',c')}(w_I w)$ ne contient aucun point du graphe de $w_I w$. Les inégalités $b' < w^{-1}(\alpha - i)$ et $k_i + 1 < \beta'$ donnent $\beta' > \alpha'$, donc (b', β') est un point du graphe de w. On obtient de même $\gamma' < \delta'$, d'où $(c', \gamma') \in \Gamma_w$. Ainsi, les points $w^{-1}(\alpha - i + 1) < b' < c' < w^{-1}(\alpha - i)$ forment une configuration (3412) de w, notée $\mathcal{II}$. Cette configuration est incompressible : en effet, elle est de hauteur 1, il suffit donc de vérifier que les rectangles MN et MS associés ne contiennent pas de point du graphe de w, ce qui résulte immédiatement du fait que $\mathcal{R}_{(b',c')}(w_I w) \cap \Gamma_{w_I w} = \emptyset$. Ensuite, on remarque que les points du graphe de $w_I w$ contenus dans le rectangle $\mathcal{R}^{(\gamma', k_i)}(w_I w)$ sont d'ordonnée $< \delta'$, donc sont des points du graphe de w et que leur abscisse est en fait $< b'$: ce sont donc exactement les points de $SO_{II} \cap \Gamma_w$. On voit de même que les points du graphe de $w_I w$ contenus dans le rectangle $\mathcal{R}^{(k_i+1, \beta')}(w_I w)$ sont des points du graphe de w, et que ce sont exactement les points de $NE_{II} \cap \Gamma_w$. On obtient alors que $w_I * \theta = \sigma(\mathcal{II})$.

On remarque pour terminer que les permutations que l'on vient de décrire sont deux à deux incomparables, à l'aide des propriétés de leurs fonctions rang vues aux lemmes 2.3 et 3.7. Elles décrivent donc les composantes irréductibles de l'image du lieu exceptionnel de π_i. $\square$

Exemple 5.4. On considère la permutation

$$w = (6, 4, 2, 7, 1, 5, 3)$$

dans $\mathfrak{S}_7$, dont le graphe est représenté sur le diagramme suivant.

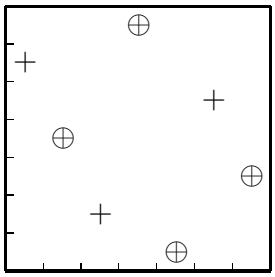

La configuration (3412) donnée par les points d'abscisses 2, 4, 5 et 7 (représentés par des $\oplus$) est bien remplie et d'amplitude minimale ; elle est incompressible. On a $h = 1$, $\alpha' = \alpha = 4$, et $\delta' = \delta = 3$. La permutation w_1 associée est

$$w_1 = (6, 3, 2, 7, 1, 5, 4).$$

Sur le diagramme suivant, on a représenté dans Γ_w le quadrant $NO(1)$ et la bande verticale d'abscisses $\in]\, a, d\, [$.

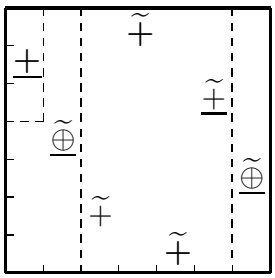

D'après la proposition qui précède, l'image du lieu exceptionnel de π_1 a deux composantes irréductibles, l'une de type Nord-Ouest associée au point d'abscisse 1 (représenté par $\underline{+}$), l'autre de type mixte, associée aux points d'abscisses 4 et 5 (représentés par $\widetilde{+}$).

La configuration I qui définit la permutation $t^1(1)$ est non dégénérée (c'est un fait général, qui sera établi au lemme 5.5), constituée des points d'abscisses 1, 2, 6, 7 (ce sont les points soulignés de la figure), et on a

$$t^1(1) = (4, 3, 2, 7, 1, 6, 5).$$

La configuration II qui définit $m_1(4, 5)$ est mixte, donnée par les abscisses 2, 3, 4, 5, 6, 7 (ce sont les points surmontés d'un $\sim$ sur la figure), et on a

$$m_1(4, 5) = (6, 2, 1, 4, 3, 7, 5).$$

5.3 Lieux exceptionnels et lieu singulier

5.3.1 Intersection des images des lieux exceptionnels

Nous pouvons maintenant démontrer la

Proposition 4.5. *L'intersection des images des lieux exceptionnels des π_i, pour i parcourant l'intervalle $[1, h]$, est contenue dans Σ_w.*

Preuve. On va montrer que pour toute famille $(X_{v_i})_{i\in[1,h]}$, où chaque X_{v_i} est une composante irréductible de $\mathcal{E}_{\pi_i}$, on a $\bigcap_{i=1}^{h} X_{v_i} \subseteq \Sigma_w$. Dans cette perspective, il est utile de faire les remarques suivantes : d'abord, on peut supposer que tous les v_i sont de type Nord-Ouest ou Sud-Est, car les composantes de type mixte sont de la forme $\sigma(\mathrm{II})$ pour une certaine configuration II de type II mixte, donc telle que $X_{\sigma(\mathrm{II})} \subseteq \Sigma_w$. On peut aussi supposer que les configurations I qui définissent les permutations v_i sont dégénérées, puisque sinon $X_{v_i} \subseteq \Sigma_w$. Cela implique en particulier que la composante X_{v_1} est de type Sud-Est, et que la composante X_{v_h} est de type Nord-Ouest, en vertu du lemme suivant.

Lemme 5.5. (a) *Les composantes de type Nord-Ouest (resp. Sud-Est) de* $\mathcal{E}_{\pi_1}$ *(resp.* $\mathcal{E}_{\pi_h}$*) sont associées à des configurations I non dégénérées.*
(b) *Si* $i > 1$, (b, β) *est le point le plus à l'Ouest de* $\partial NO(i)$, *et de même, si* $i < h$, (c, γ) *est le point le plus à l'Est de* $\partial SE(i)$.

Preuve du lemme 5.5. Montrons par exemple que les composantes de type Nord-Ouest de $\mathcal{E}_{\pi_1}$ sont associées à des configurations I non dégénérées. On remarque pour commencer que le fait que la configuration $a < b < c < d$ soit d'amplitude minimale parmi les configurations bien remplies entraîne :

$$w\big(\,]\,w^{-1}(\alpha'), c\,[\,\big) \cap \,]\,\alpha', \beta\,[\, = \emptyset \quad (\dagger).$$

Considérons alors un point (b', β') de $\partial NO(1)$; on a $b' < a$, et donc a fortiori $b' < b$. On constate que si $\beta' > \beta$, alors la configuration I qui définit la composante irréductible $X_{t^1(b')}$ de $\mathcal{E}_{\pi_1}$ est non dégénérée, car sa suite NE contient le point (b, β).

Voyons maintenant que si $h > 1$, alors on a $\beta' > \beta$. En effet, supposons $\beta' < \beta$; alors on obtient d'après $(\dagger)$, $b' < w^{-1}(\alpha')$. Il résulte aussi de $(\dagger)$ que $w^{-1}(\alpha' + 1) > c$, et que pour tout $j \in [\,\alpha' + 1, \beta'\,[$, on a $w^{-1}(j) < w^{-1}(\alpha')$ ou $w^{-1}(j) > c$. Il existe donc un entier $j \in [\,\alpha' + 1, \beta'\,[$, tel que $w^{-1}(j) > c$ et $w^{-1}(j + 1) < w^{-1}(\alpha')$. Comme de plus $h > 1$, on a $w^{-1}(\alpha - 1) \in \,]\,b, c\,[$, et donc les abscisses $w^{-1}(j + 1) < b < w^{-1}(\alpha - 1) < w^{-1}(j)$ forment une configuration (3412) de w, bien remplie (car de hauteur 1) et d'amplitude $\beta - \alpha + 1 < \beta - \gamma$, exclu. On a donc $\beta' > \beta$.

Reste le cas $h = 1$ et $\beta' < \beta$: comme précédemment, il existe $j \in [\,\alpha'+1, \beta'\,[$, tel que $w^{-1}(j) > c$ et $w^{-1}(j+1) < w^{-1}(\alpha')$. On a de plus $w^{-1}(j) \in \,]\,c, d\,[$, car sinon, les abscisses $w^{-1}(j + 1) < b < d < w^{-1}(j)$ formeraient une configuration (3412) de w, bien remplie (car de hauteur 1) et d'amplitude

$\beta-\delta < \beta-\gamma$, exclu. La configuration qui définit $t^1(b')$ est alors non dégénérée car sa suite NE contient le point $(w^{-1}(j), j)$.

On montre de même que les composantes de type Sud-Est de $\mathcal{E}_{\pi_h}$ sont associées à des configurations I non dégénérées.

Montrons maintenant la deuxième assertion du lemme. Soit $i > 1$, on rappelle que

$$NO(i) = \Gamma_w \cap \{(p,q) \mid p < w^{-1}(\alpha - i + 1),\ q > \alpha'\}.$$

On a $(b, \beta) \in NO(i)$; de plus, comme la configuration $a < b < c < d$ est d'amplitude minimale parmi les configurations bien remplies, (b, β) est dans la frontière Sud-Est, $\partial NO(i)$. S'il y avait un point plus à l'Ouest dans $\partial NO(i)$, d'ordonnée β', on aurait $\beta' < \beta$, et on obtiendrait comme précédemment une configuration bien remplie d'amplitude plus petite, une contradiction.

On montre de même que pour $i < h$, (c, γ) est le point le plus à l'Est de $\partial SE(i)$. □

On a remarqué au début de la preuve de la proposition 4.5 que les composantes de type mixte sont contenues dans Σ_w. Donc, dans le cas $h = 1$, le lemme 5.5 achève la preuve de cette proposition.

Exemple 5.6. On renvoie à l'exemple 5.4, où l'on a $h = 1$, et où les composantes irréductibles de $\mathcal{E}_{\pi_1}$ sont associées à la configuration I non dégénérée donnée par les abscisses 1, 2, 6, 7, et à la configuration II mixte donnée par les abscisses 2, 3, 4, 5, 6, 7.

On suppose dorénavant $h \geq 2$, et on introduit la notion suivante.

Définition 5.7. Soit $(X_{v_i})_{i\in[1,h]}$ une famille de composantes irréductibles des $\mathcal{E}_{\pi_i}$, chacune de type Nord-Ouest ou Sud-Est, et associée à une configuration I dégénérée. On dit que $(X_{v_i})_{i\in[1,h]}$ est une *bonne famille*, s'il existe des entiers $i < j$ tels que :

(*a*) la composante v_i soit de type Sud-Est, associée au point (c_i, γ_i),
(*b*) la composante v_j soit de type Nord-Ouest, associée au point (b_j, β_j),
(*c*) on ait les inégalités

$$w^{-1}(\alpha - i + 1) < b_j < c_i < w^{-1}(\alpha - j).$$

Nous allons démontrer le

Lemme 5.8. *Si la famille* $(X_{v_i})_{i\in[1,h]}$ *est bonne, alors* $\bigcap_{i=1}^{h} X_{v_i} \subseteq \Sigma_w$.

Preuve du lemme 5.8. Soient $i < j$ vérifiant les conditions (a), (b) et (c) de la définition. On définit les entiers α_j et δ_i dans $[\,\delta', \alpha'\,]$ par les conditions $w^{-1}(\alpha_j) < b_j < w^{-1}(\alpha_j - 1)$ et $w^{-1}(\delta_i + 1) < c_i < w^{-1}(\delta_i)$.

On a $b \leq b_j < w^{-1}(\alpha - j + 1)$ (la première inégalité résulte de l'assertion (b) du lemme 5.5, car $j \geq 2$, et la seconde de la définition de $NO(j)$). De même, on a $w^{-1}(\alpha - i) < c_i \leq c$. On en déduit que $\alpha_j \in [\,\delta + 2, \alpha\,]$, et $\delta_i \in [\,\delta, \alpha - 2\,]$.

D'autre part, comme $b_j < c_i$, on a $w^{-1}(\alpha_j) \leq w^{-1}(\delta_i + 1)$, et donc $\alpha_j \geq \delta_i + 1$ car w^{-1} est décroissante sur $[\,\delta', \alpha'\,]$. Ainsi les points d'abscisses $w^{-1}(\alpha_j) < b_j < c_i < w^{-1}(\delta_i)$ forment une configuration (3412), que l'on note $\mathcal{II}$. Montrons que $\mathcal{II}$ est incompressible ; il s'agit d'une configuration (3412) bien remplie, il suffit donc de montrer que $MS =]\,b_j, c_i\,[\,\times\,]\,\gamma_i, \delta_i\,[$ et $MN =]\,b_j, c_i\,[\,\times\,]\,\alpha_j, \beta_j\,[$ ne rencontrent pas Γ_w. D'une part, $(c_i, \gamma_i) \in \partial SE(i)$, on a donc

$$\big(\,]\,w^{-1}(\alpha - i), c_i\,[\,\times\,]\,\gamma_i, \delta'\,[\,\big) \cap \Gamma_w = \emptyset \qquad (1).$$

D'autre part, la configuration I définissant $t_i(c_i)$ (décrite avant la proposition 5.3) est supposée dégénérée, donc on a aussi

$$\big(\,]\,w^{-1}(\alpha - i + 1), w^{-1}(\alpha - i)\,[\,\times\,]\,\gamma_i, \delta'\,[\,\big) \cap \Gamma_w = \emptyset \qquad (2).$$

Par ailleurs, comme w^{-1} est décroissante sur $[\,\delta', \alpha'\,]$, on a $w^{-1}\big(\,[\,\delta', \delta_i\,]\,\big) \subseteq [\,w^{-1}(\delta_i), n\,]$, en particulier

$$w^{-1}\big(\,[\,\delta', \delta_i\,]\,\big) \cap]\,w^{-1}(\alpha - i + 1), c_i\,[= \emptyset \qquad (3).$$

On déduit de $(1), (2)$, et (3) que

$$\big(\,]\,w^{-1}(\alpha - i + 1), c_i\,[\,\times\,]\,\gamma_i, \delta_i\,[\,\big) \cap \Gamma_w = \emptyset \qquad (\diamond).$$

En particulier, il en résulte que MS ne rencontre pas Γ_w, puisque $b_j > w^{-1}(\alpha - i + 1)$.

On démontre de même

$$]b_j, w^{-1}(\alpha - j)\,[\,\times\,]\,\alpha_j, \beta_j\,[\,\cap \Gamma_w = \emptyset \quad (\diamond\diamond),$$

et l'on en déduit que MN ne rencontre pas Γ_w. La configuration $\mathcal{II}$ est donc incompressible.

Notant simplement σ la permutation associée à $\mathcal{II}$, nous allons montrer que $X_{v_i} \cap X_{v_j} \subseteq X_\sigma$.

La configuration I qui définit v_j, dégénérée au Nord-Est, est donnée par les points d'abscisses $b_j < w^{-1}(\alpha_j - 1) < \cdots < w^{-1}(\alpha - j + 1) < w^{-1}(\alpha - j)$. Celle qui définit v_i est dégénérée au Sud-Ouest, et donnée par les points d'abscisses $w^{-1}(\alpha - i + 1) < w^{-1}(\alpha - i) < \cdots < w^{-1}(\delta_i + 1) < c_i$.

Il résulte de ($\diamond$) et ($\diamond\diamond$) que les rectangles SO_{II} et NE_{II} de la configuration II ne rencontrent pas Γ_w, donc le graphe de σ ne diffère de celui de w qu'en les points d'abscisses $w^{-1}(\alpha_j),\ b_j,\ c_i$ et $w^{-1}(\delta_i)$.

On en déduit que les graphes des permutations $w,\ v_j,\ v_i$, et σ ne diffèrent qu'en les points d'abscisses $w^{-1}(\alpha - i + 1) < \cdots < w^{-1}(\alpha_j) < b_j < w^{-1}(\alpha_j - 1) < \cdots < w^{-1}(\delta_i + 1) < c_i < w^{-1}(\delta_i) < \cdots < w^{-1}(\alpha - j)$. Notons $\overline{v_j},\ \overline{v_i}$ et $\overline{\sigma}$ les permutations obtenues en focalisant sur ces abscisses ; soient

$$\begin{array}{rcl} m_1 & = & \#\,[\,\alpha_j, \alpha - i + 1\,] \geq 1, \\ m_2 & = & \#\,[\,\delta_i + 1, \alpha_j - 1\,] \geq 0, \\ m_3 & = & \#\,[\,\alpha - j, \delta_i\,] \geq 1. \end{array}$$

et soit $m = m_1 + m_2 + m_3 + 2$. Les permutations $\overline{v_j},\ \overline{v_i}$ et $\overline{\sigma}$ sont dans $\mathfrak{S}_m$; $\overline{v_j}$ est la permutation maximale telle que $\overline{v_j}(m_1 + m_2 + 2) = 1$ et $\overline{v_j}(m) = m$, $\overline{v_i}$ est la permutation maximale telle que $\overline{v_i}(1) = 1$ et $\overline{v_i}(m_1) = m$, et $\overline{\sigma}$ est la permutation maximale de $\mathfrak{S}_m$ telle que $\overline{\sigma}(m_1) = 1$ et $\overline{\sigma}(m_1 + m_2 + 3) = m$. Soit v la permutation maximale de $\mathfrak{S}_m$ telle que $v(1) = 1$ et $v(m) = m$; on voit facilement que v est le plus grand élément de $\Lambda(\overline{v_i}, \overline{v_j})$, et que $v \leq \overline{\sigma}$. On en déduit, en vertu du lemme 1.2, que $X_{v_i} \cap X_{v_j} \subseteq X_\sigma$.

D'autre part, on a remarqué que les rectangles NE_{II} et SO_{II} de la configuration (3412) qui définit σ ne rencontrent pas Γ_w, on a donc, d'après le corollaire 3.11, $X_\sigma \subseteq \Sigma_w$. Cela prouve le lemme 5.8. $\square$

Pour terminer la preuve de la proposition 4.5, nous allons maintenant démontrer le

Lemme 5.9. *Toute famille $(X_{v_i})_{i \in [1,h]}$ de composantes irréductibles des $\mathcal{E}_{\pi_i}$, chacune de type Nord-Ouest ou Sud-Est, et associée à une configuration I dégénérée, est bonne.*

Preuve du lemme 5.9. On se donne une famille de composantes comme dans l'énoncé du lemme, notée $\mathcal{F}$. Rappelons que, d'après le lemme 5.5, la composante v_1 est de type Sud-Est, disons associée au point (c_1, γ_1), alors que la composante v_h est de type Nord-Est, disons associée au point (b_h, β_h). Si l'on a $b_h < c_1$, alors $\mathcal{F}$ est bonne : en effet, d'après le lemme 5.5, on a $b \leq b_h$ et $c_1 \leq c$, et il vient $w^{-1}(\alpha) = a < b_h < c_1 < d = w^{-1}(\delta)$.

On peut donc supposer $c_1 < b_h$. Posant $j_0 = 1$ et $i_0 = h$, supposons avoir construit des entiers

$$j_0 < j_1 < \cdots < j_{k-1} < i_{k-1} < \cdots < i_1 < i_0$$

et des points $(c_{j_l}, \gamma_{j_l}) \in \partial SE(j_l)$ et $(b_{i_l}, \beta_{i_l}) \in \partial NO(i_l)$, pour $l = 0, \ldots, k-1$, tels que

$$(\dagger) \qquad c_{j_0} < c_{j_1} < \cdots < c_{j_{k-1}} < b_{i_{k-1}} < \cdots < b_{i_0}$$

et que les entiers j_{l+1} et i_{l+1} soient définis par les encadrements

$$(\dagger\dagger) \qquad \begin{cases} w^{-1}(\alpha - j_{l+1} + 1) < c_{j_l} < w^{-1}(\alpha - j_{l+1}), \\ w^{-1}(\alpha - i_{l+1} + 1) < b_{i_l} < w^{-1}(\alpha - i_{l+1}), \end{cases}$$

pour $l = 0, \ldots, k-2$.

On définit alors les entiers j_k et i_k par

$$w^{-1}(\alpha - j_k + 1) < c_{j_{k-1}} < w^{-1}(\alpha - j_k)$$

et

$$w^{-1}(\alpha - i_k + 1) < b_{i_{k-1}} < w^{-1}(\alpha - i_k).$$

On a alors $j_{k-1} < j_k \leq i_k < i_{k-1}$.

Si v_{j_k} est de type Nord-Ouest, définie par le point de Γ_w d'abscisse b_{j_k}, alors b_{j_k} est dans l'intervalle $]\, w^{-1}(\alpha), w^{-1}(\alpha - j_k + 1)\,[$, il existe donc $l \leq k-1$, tel que $w^{-1}(\alpha - j_l + 1) < b_{j_k} < w^{-1}(\alpha - j_{l+1} + 1)$. On obtient alors, en utilisant $(\dagger\dagger)$, que

$$w^{-1}(\alpha - j_l + 1) < b_{j_k} < c_{j_l} < w^{-1}(\alpha - j_k),$$

et $\mathcal{F}$ est une bonne famille.

Si v_{j_k} est de type Sud-Est, définie par le point de Γ_w d'abscisse c_{j_k}, alors, d'après $(\dagger\dagger)$ et la définition de $SE(j_k)$, on a $c_{j_k} > w^{-1}(\alpha - j_k) > c_{j_{k-1}}$. Si de plus $c_{j_k} > b_{i_{k-1}}$, en considérant le plus petit entier l tel que $b_{i_l} < c_{j_k}$, on a $c_{j_k} < b_{i_{l-1}}$, et $b_{i_{l-1}} < w^{-1}(\alpha - i_l)$ par $(\dagger\dagger)$. On a aussi $b_{i_l} > w^{-1}(\alpha - i_{l+1} + 1)$ d'après $(\dagger\dagger)$, mais $i_{l+1} \geq i_k \geq j_k$, et comme w^{-1} est décroissante sur $[\,\delta', \alpha'\,]$, il vient $w^{-1}(\alpha - i_{l+1} + 1) \geq w^{-1}(\alpha - j_k + 1)$. On a donc obtenu

$$w^{-1}(\alpha - j_k + 1) < b_{j_l} < c_{j_k} < w^{-1}(\alpha - i_l),$$

et $\mathcal{F}$ est bonne.

On procède de même avec v_{i_k} : on montre d'abord que si v_{i_k} est de type Sud-Est, $\mathcal{F}$ est une bonne famille. Ensuite, si $v_{i_k} = t^{i_k}(b_{i_k})$ est de type Nord-Ouest, on remarque que $b_{i_k} < b_{i_{k-1}}$ et l'on montre que si de plus $b_{i_k} < c_{j_{k-1}}$ alors la famille $\mathcal{F}$ est bonne.

En regroupant ces résultats, on constate que l'on a montré que $\mathcal{F}$ est une bonne famille, sauf, éventuellement, si $j_k < i_k$, $v_{j_k} = t_{j_k}(c_{j_k})$ de type Sud-Est, $v_{i_k} = t^{i_k}(b_{i_k})$ de type Nord-Ouest, et $b_{i_k}, c_{j_k} \in]\, c_{j_{k-1}}, b_{i_{k-1}}\, [$. Si l'on a de plus $b_{i_k} < c_{j_k}$, il vient d'une part $w^{-1}(\alpha - j_k + 1) < b_{i_k}$ car $b_{i_k} > c_{j_{k-1}}$, par hypothèse et $c_{j_{k-1}} > w^{-1}(\alpha - j_k + 1)$ par (††). On obtient de même $c_{j_k} < w^{-1}(\alpha - i_k)$, d'où finalement

$$w^{-1}(\alpha - j_k + 1) < b_{i_k} < c_{j_k} < w^{-1}(\alpha - i_k),$$

et la famille $\mathcal{F}$ est bonne.

On peut donc supposer que $c_{j_k} < b_{i_k}$ et l'on est à nouveau dans les hypothèses de la récurrence. Ce processus s'arrête, puisque les suites d'entiers b_{i_l} et c_{j_l} sont strictement monotones et bornées, on en déduit donc que $\mathcal{F}$ est une bonne famille. Cela termine la preuve du lemme 5.9, et par conséquent aussi celle de la proposition 4.5 □

Exemple 5.10. On considère la permutation

$$w = (6, 7, 5, 1, 8, 4, 2, 3)$$

de $\mathfrak{S}_8$.

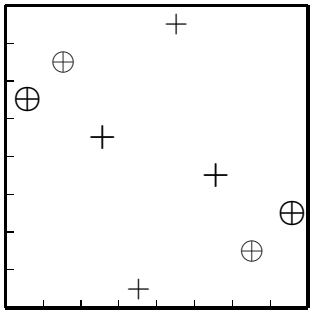

La configuration (3412) formée par les points d'abscisses 1, 2, 7, 8 est bien remplie et d'amplitude minimale. On a $h = 3$, $\alpha' = \alpha = 6$ et $\delta' = \delta = 3$. Les permutations associées sont

$$\begin{aligned} w_1 &= (3, 7, 6, 1, 8, 5, 2, 4), \\ w_2 &= (4, 7, 3, 1, 8, 6, 2, 5), \\ w_3 &= (5, 7, 4, 1, 8, 3, 2, 6), \end{aligned}$$

dont les graphes sont représentés ci-dessous.

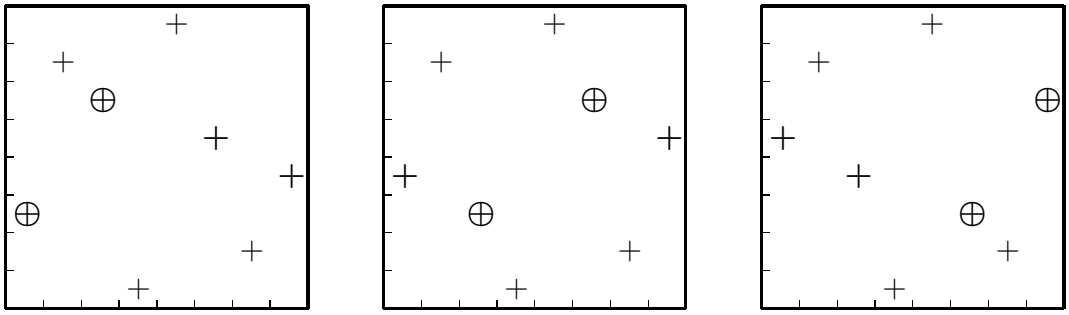

Sur les trois diagrammes suivants, on a représenté les quadrants associés respectivement à chacune des trois quasi-résolutions, ainsi que les bandes verticales d'abscisses $\in]\, w_i^{-1}(\alpha'), w_i^{-1}(\delta')\, [$:

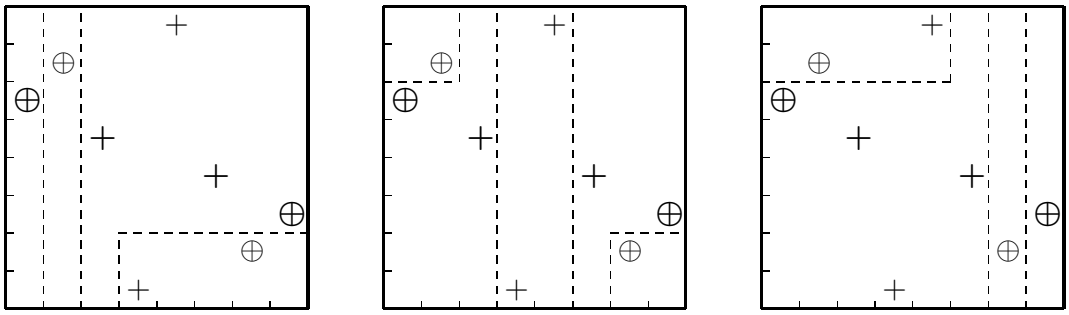

Ainsi, d'après la proposition 5.3, chacun des $\mathcal{E}_{\pi_i}$ a deux composantes irréductibles. Les deux composantes de $\mathcal{E}_{\pi_1}$ sont de type Sud-Est, $t_1(4) = (1,7,6,5,8,4,2,3)$ et $t_1(7) = (2,7,6,1,8,5,4,3)$. Le lieu $\mathcal{E}_{\pi_2}$ a une composante de type Nord-Ouest et une de type Sud-Est, $t^2(2) = (6,5,4,1,8,7,2,3)$ et $t_2(7) = (6,7,2,1,8,5,4,3)$. Enfin, $\mathcal{E}_{\pi_3}$ a deux composantes de type Nord-Ouest, $t^3(2) = (6,5,4,1,8,3,2,7)$ et $t^3(5) = (6,7,5,1,4,3,2,8)$.

Aucune de ces composantes n'est contenue dans Σ_w : elles correspondent toutes à des configurations I dégénérées, qui donnent des points lisses d'après le théorème 3.8. En revanche, d'après le lemme 5.9, toute intersection $X_{v_1} \cap X_{v_2} \cap X_{v_3}$, où chaque X_{v_i} est une composante de $\mathcal{E}_{\pi_i}$, est contenue dans Σ_w.

Voyons par exemple l'intersection $X_{t_1(4)} \cap X_{t_2(7)} \cap X_{t^3(5)}$. Les entiers $i = 2$ et $j = 3$ remplissent les conditions de la définition 5.7 : (a) $t_2(7)$ est de type

Sud-Est, associée au point $(7,2)$; (b) $t^3(5)$ est de type Nord-Ouest, associée au point $(5,9)$; (c) on a $\alpha = 6$ et $w^{-1}(5) = 3 < b_3 = 5 < c_2 = 7 < w^{-1}(3) = 8$.

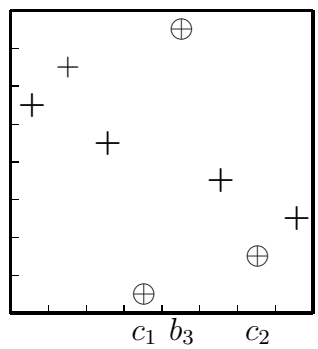

D'après le lemme 5.8, l'intersection $X_{t_2(7)} \cap X_{t^3(5)}$ est contenue dans X_σ, où σ est la permutation associée à la configuration II pure formée par les points d'abscisses 3, 5, 6, 7, 8, c.-à-d. $\sigma = (6,7,2,1,5,4,3,8)$.

5.3.2 Correspondance entre configurations

Nous terminons par la preuve de la proposition 4.6.

Pour toute configuration $\mathcal{K}$ de w_i, de type I ou II, on note $w_I w_{J_i}(\mathcal{K})$ l'ensemble des points $(x, w(x))$ tels que $(x, w_i(x)) \in \mathcal{K}$.

Proposition 4.6. *Pour toute configuration $\mathcal{K}$ de w_i, de type I ou II, paramétrant une composante irréductible X_v du lieu singulier de X_{w_i}, on a :*

- *ou bien $P_I \times^{P_{J_i}} X_v \subseteq Ex(\pi_i)$,*
- *ou bien $w_I w_{J_i}(\mathcal{K})$ est une configuration du même type de w, et $\pi_i(P_I \times^{P_{J_i}} X_v) = X_{w_I w_{J_i} v}$ est la composante irréductible du lieu singulier de X_w associée.*

Au cours de la démonstration, nous utiliserons la notion suivante

Définition 5.11. Soit z une permutation et $\mathcal{F}$ une famille de points du graphe de z, $\mathcal{F} = \{(x_1, z(x_1)), \ldots, (x_m, z(x_m))\}$, avec $x_1 < \cdots < x_m$. Pour $j = 1, \ldots, m-1$, on appelle *successeur de $(x_j, z(x_j))$ dans $\mathcal{F}$* le point $(x_{j+1}, z(x_{j+1}))$.

Preuve. On considère une configuration $\mathcal{K}$ de w_i, paramétrant une composante irréductible X_v de Sing X_{w_i}. On suppose de plus que $P_I \times^{P_{J_i}} X_v \not\subseteq \mathrm{Ex}(\pi_i)$.

D'après la discussion au début de la preuve de la proposition 5.3, il vient que $w_{J_i}v \in {}^I\mathfrak{S}_{min}$, de sorte que $w_I * v = w_I w_{J_i} v$. Il suffit alors de montrer que $w_I w_{J_i}(\mathcal{K})$ est une configuration du même type de w. En effet, la dernière assertion en découle : on a $v = \gamma(\kappa)w_i$, où $\gamma(\kappa)$ est un certain cycle sur les ordonnées de la configuration $\mathcal{K}$, et de même, la composante irréductible de Sing X_w associée à $w_I w_{J_i}(\mathcal{K})$ de w est donnée par $v' = \gamma({}_{w_I w_{J_i}(\mathcal{K})})w$, et comme $\gamma({}_{z(\mathcal{K})}) = z\,\gamma(\kappa)\,z^{-1}$, pour tout z, il vient $v' = w_I w_{J_i}\gamma(\kappa)w_i = w_I w_{J_i} v$.

On remarque de plus que l'on a $(\delta', \alpha')\,v \not\leq w_i$. En effet, notant $v' = (\delta', \alpha')\,v$, on a $v' = w_{J_i} s_{k_i}\theta$, et comme $\theta \in {}^I\mathfrak{S}_{min}$, il vient $v' \in {}^{J_i}\mathfrak{S}_{max}$. Si l'on avait $v' \leq w_i$, alors $P_I \times^{P_{J_i}} X_{v'} \subseteq Z_i$ aurait même image que $P_I \times^{P_{J_i}} X_v$, d'où $P_I \times^{P_{J_i}} X_v \subseteq \mathrm{Ex}(\pi_i)$, une contradiction.

On note $\mathcal{S}_i^S$ (resp. $\mathcal{S}_i^N$) l'ensemble des points du graphe de w_i dont l'ordonnée est dans $[\delta', k_i]$ (resp. $[k_i + 1, \alpha']$), et $\mathcal{S}_i = \mathcal{S}_i^S \cup \mathcal{S}_i^N$. On note aussi $\mathcal{S} = w_I w_{J_i}(\mathcal{S}_i)$.

1. Supposons pour commencer que $\mathcal{K}$ est une configuration I, nécessairement non dégénérée puisqu'elle paramètre un point singulier de X_{w_i}. On conserve les notations des définitions 3.1 et 3.2. On note $\mathcal{K}^N$ la réunion de $\{P_+\}$ et de la suite NE, et $\mathcal{K}^S$ la réunion de $\{P_-\}$ et de la suite SO. Si la configuration $\mathcal{K}$ ne rencontre pas $\mathcal{S}_i$, le résultat est clair. Supposons au contraire que $\mathcal{K} \cap \mathcal{S}_i \neq \emptyset$. Soit p_2 la deuxième projection de $[1, n]^2$ sur $[1, n]$. Comme w_i^{-1} est décroissante sur chacun des $p_2(E)$, pour $E = \mathcal{S}_i^S, \mathcal{S}_i^N, \mathcal{K}^S, \mathcal{K}^N$, et que $\mathcal{S}_i^S$ est au Sud-Ouest de $\mathcal{S}_i^N$, chacune des deux parties $\mathcal{K}^S$ et $\mathcal{K}^N$ ne peut rencontrer qu'au plus l'une de $\mathcal{S}_i^S$ et $\mathcal{S}_i^N$.

Montrons de plus que $\mathcal{S}_i$ ne peut rencontrer simultanément $\mathcal{K}^N$ et $\mathcal{K}^S$. En effet, supposons que ce soit le cas. Alors, nécessairement, $\mathcal{K}^N$ rencontre $\mathcal{S}_i^N$ et $\mathcal{K}^S$ rencontre $\mathcal{S}_i^S$, et cela entraîne que $\mathcal{S}_i$ ne contient ni P_+ ni P_-. Ainsi $\mathcal{K}^N \cap \mathcal{S}_i^N$ est contenu dans la suite NE, et $\mathcal{K}^S \cap \mathcal{S}_i^S$ dans la suite SO. Comme P_- est au Sud-Est de la suite NE, on en déduit que $x_{-\infty} > w_i^{-1}(\alpha')$, d'où $x_{-\infty} > w_i^{-1}(\delta')$.

Soit $y_m = \inf\,\{y \mid (w_i^{-1}(y), y) \in \mathcal{K}^S \cap \mathcal{S}_i^S\}$; on a $y_m = \delta'$, car sinon le point $(w_i^{-1}(\delta'), \delta')$ serait contenu dans $\Gamma_{w_i} \cap \mathcal{R}_{(x_\infty, x_{-\infty})}$ mais pas dans $\bigcup_{j=1}^t SO(x_{-j}, y_{-j}) \cup \bigcup_{j=1}^s NE(x_j - 1, y_j - 1)$, ce qui contredirait ($\triangle$). On montre de même que α' est l'ordonnée d'un point de la suite NE. Mais on voit alors que $v' := (\delta', \alpha')\,v < w_i$. En effet, les graphes $\Gamma_{v'}$ et Γ_{w_i} coïncident en dehors des ordonnées de $\mathcal{Y}$ (*cf.* 3.1), il suffit donc de comparer les permutations obtenues en focalisant sur ces ordonnées. Posant $n' = s + t + 2$, on a

alors

$$\begin{aligned}\overline{w_i} &= (n',\ t+1,\dots,2,\ s+t+1,\dots,t+2,\ 1)\\ \overline{v} &= (t+1,\dots,1\ n',\dots,t+2)\end{aligned}$$

et $\overline{v'} = (j_1, j_2)\overline{v}$ avec $j_1 \in [2, t+1]$ et $j_2 \in [t+2, s+t+1]$. On a donc $\overline{v'} < \overline{w_i}$, d'où $v' < w_i$, exclu. On a ainsi démontré que $\mathcal{K} \cap \mathcal{S}_i$ est contenu dans $\mathcal{K}^N$ ou bien dans $\mathcal{K}^S$, donc égal à l'un des quatre $\mathcal{K}^* \cap \mathcal{S}_i^{*'}$ où $*, *' \in \{N, S\}$.

Supposons par exemple que $\mathcal{K} \cap \mathcal{S}_i = \mathcal{K}^N \cap \mathcal{S}_i^S$. Alors il est clair que les coordonnées des points de $w_I w_{J_i}(\mathcal{K})$ vérifient les inégalités requises (*cf.* 3.1), et il suffit donc de vérifier l'inclusion ($\triangle$). Notons

$$\begin{aligned}\mathcal{K} &= \{(x_\infty, y_\infty),\ (x_{-\infty}, y_{-\infty})\} \cup \{(x_j, y_j),\ j \in [-t,-1] \cup [1,s]\},\\ w_I w_{J_i}(\mathcal{K}) &= \left\{(x_\infty, y'_\infty),\ (x_{-\infty}, y'_{-\infty})\right\} \cup \left\{(x_j, y'_j),\ j \in [-t,-1] \cup [1,s]\right\}.\end{aligned}$$

Comme les graphes Γ_{w_i} et Γ_w coïncident sur les ordonnées hors de $[\,\delta', \alpha'\,]$, il suffit de montrer que

$$\mathcal{S} \cap \mathcal{R}_{(x_\infty, x_{-\infty})}(w) \subseteq \bigcup_{j=1}^{t} SO(x_{-j}, y'_{-j}) \cup \bigcup_{j=1}^{s} NE(x_j - 1, y'_j - 1) \qquad (\triangle').$$

Soit $y_m = \inf\{y \mid (w_i^{-1}(y), y) \in \mathcal{K}^N \cap \mathcal{S}_i^S\}$; on a $m \in [1,s] \cup \{\infty\}$. Soit m' l'entier tel que $x_{m'} = v^{-1}(y_m)$; on a $m' \in [1,s] \cup \{-\infty\}$. Le point $(x_{m'}, y_{m'})$ est à l'Ouest, au sens large, du successeur de $(w_i^{-1}(y_m), y_m)$ dans $\mathcal{S}_i$. En effet, si $y_m \neq \delta'$, alors le successeur de $(w_i^{-1}(y_m), y_m)$ dans $\mathcal{S}_i$ est $(w_i^{-1}(y_m - 1), y_m - 1)$. Si l'on avait $w_i^{-1}(y_m - 1) < x_{m'}$, alors le point $(w_i^{-1}(y_m - 1), y_m - 1)$ serait contenu dans $\Gamma_{w_i} \cap \mathcal{R}_{(x_\infty, x_{-\infty})}(w_i)$, et pas dans $\bigcup_{j=1}^{t} SO(x_{-j}, y_{-j}) \cup \bigcup_{j=1}^{s} NE(x_j - 1, y_j - 1)$, ce qui contredit ($\triangle$). D'autre part, si $y_m = \delta'$, alors le successeur de $(w_i^{-1}(y_m), y_m)$ dans $\mathcal{S}_i$ est $(w_i^{-1}(\alpha'), \alpha')$. Si l'on avait $w_i^{-1}(\alpha') < x_{m'}$, alors on aurait $(\delta', \alpha')\, v < v$, d'où $(\delta', \alpha')\, v < w_i$, exclu.

Il vient alors : si $m' = -\infty$, $\mathcal{S} \cap \mathcal{R}_{(x_\infty, x_{-\infty})}(w) \subseteq w_I w_{J_i}(\mathcal{K})$, d'où ($\triangle'$), et si $m' \neq -\infty$, comme on a $w_i(x_{m'}) = y_{m'} < \delta'$, alors $w(x_{m'}) = w_i(x_{m'})$, ou encore $y'_{m'} = y_{m'}$ et alors

$$\mathcal{S} \cap \mathcal{R}_{(x_\infty, x_{-\infty})}(w) \subseteq w_I w_{J_i}(\mathcal{K}) \cup NE(x_{m'} - 1, y'_{m'} - 1),$$

d'où l'on déduit ($\triangle'$).

Le cas $\mathcal{K} \cap \mathcal{S}_i = \mathcal{K}^S \cap \mathcal{S}_i^N$ est semblable, et les cas où $\mathcal{K} \cap \mathcal{S}_i$ est égal à $\mathcal{K}^S \cap \mathcal{S}_i^S$ ou $\mathcal{K}^N \cap \mathcal{S}_i^N$ sont similaires, mais plus simples.

On a donc démontré le résultat lorsque $\mathcal{K}$ est une configuration I.

2. Supposons maintenant que $\mathcal{K}$ est une configuration II : comme X_v est une composante irréductible du lieu singulier, on a, d'après le corollaire 3.11, $s = t = 0$ ou $r = 0$.

2.1. Traitons pour commencer le cas d'une configuration pure. Notons A, B, C et D les quatre points de la configuration (3412) qui détermine $\mathcal{K}$, et (x_A, y_A), *etc.* leurs coordonnées. On va montrer que $w_I w_{J_i}(\{A, B, C, D\})$ est une configuration (3412) de w, incompressible, et telle que les zones $NE_{II}(w)$ et $SO_{II}(w)$ associées ne contiennent pas de point de Γ_w. Comme précédemment, il suffit de montrer que

$$\big(MN(w) \cup NE_{II}(w) \cup ME(w) \cup MS(w) \cup SO_{II}(w) \cup MO(w)\big) \cap \mathcal{S} = \emptyset \quad (\bigtriangledown).$$

Comme l'ensemble des ordonnées des points de $\mathcal{S}_i$ est un intervalle, le résultat est clair si $\mathcal{K} \cap \mathcal{S}_i = \emptyset$. On suppose donc $\mathcal{K} \cap \mathcal{S}_i \neq \emptyset$.

2.1.1. Supposons pour commencer $B \in \mathcal{S}_i$. Alors le seul autre point de $\mathcal{K}$ qui pourrait appartenir à $\mathcal{S}$ est A, mais on aurait alors $(\delta', \alpha')\, v < v$, exclu. On a donc $\mathcal{K} \cap \mathcal{S}_i = \{B\}$. Alors il est clair que $w_I w_{J_i}(\{A, B, C, D\})$ est une configuration (3412) de w, notée $\mathcal{II}$. Si $B \in \mathcal{S}_i^N$, alors comme on a vu que $A \notin \mathcal{S}_i$, on a $p_2(\mathcal{S}_i^S) \subseteq]\, y_A, y_B\, [$, et l'on obtient que $\mathcal{II}$ est de la forme voulue. D'autre part, si $B \in \mathcal{S}_i^S$, on a d'abord $y_A < \delta'$, et donc $\big(ME(w) \cup MS(w) \cup SO_{II}(w) \cup MO(w)\big) \cap \mathcal{S} = \emptyset$. Ensuite, si $y_B \neq \delta'$, le successeur de B dans $\mathcal{S}_i$ a pour ordonnée $y_B - 1 \in]\, y_A, y_B\, [$, et comme $\mathcal{K}$ est incompressible et que le rectangle $NE_{II}(\mathcal{K})$ ne rencontre pas Γ_{w_i}, on a nécessairement $x_D < w_i^{-1}(y_B - 1)$. D'autre part, si l'on a $y_B = \delta'$, alors le successeur de B dans $\mathcal{S}_i$ est le point d'ordonnée α', et l'on a $x_D < w^{-1}(\alpha')$, car sinon on aurait $(\delta', \alpha')\, v < v$. On en déduit, dans les deux cas, $\big(MN(w) \cup NE_{II}(w)\big) \cap \mathcal{S} = \emptyset$. On a ainsi obtenu $(\bigtriangledown)$ lorsque $B \in \mathcal{S}_i$. Le cas où $C \in \mathcal{S}_i$ se traite de façon semblable.

2.1.2. Il reste donc à traiter le cas $\mathcal{K} \cap \mathcal{S}_i \subseteq \mathcal{K}^M$, où $\mathcal{K}^M$ désigne la réunion de A, D et de la suite centrale. Dans ce cas, $\mathcal{K} \cap \mathcal{S}_i$ est contenue dans l'une des deux zones $\mathcal{S}_i^N$ ou $\mathcal{S}_i^S$, disons $\mathcal{S}_i^S$.

Si l'on a $A \in \mathcal{S}_i^S$ et $D \notin \mathcal{S}_i^S$: alors on a d'une part $y_D < \delta'$, donc $\big(MS(w) \cup SO_{II}(w)\big) \cap \mathcal{S} = \emptyset$. D'autre part, on a $y_B > \alpha'$, donc, comme la configuration $\mathcal{K}$ est incompressible et que $NE_{II}(\mathcal{K})$ ne rencontre pas Γ_{w_i}, les abscisses de B et D sont contenues dans un même intervalle de la subdivision donnée par les abscisses des points de $\mathcal{S}_i$. Alors les proriétés voulues concernant les rectangles $MN(w)$, $NE_{II}(w)$, $MO(w)$ et $ME(w)$ résultent de leur analogue

dans Γ_{w_i}. On a donc établi ($\bigtriangledown$) dans ce cas. Les autres cas, plus simples, sont laissés au lecteur. On a donc démontré le résultat pour $\mathcal{K}$ de type II telle que $s = t = 0$.

2.2. Soit maintenant $\mathcal{K}$ de type II mixte. On décompose alors $\mathcal{K}$ en trois parties : on note $\mathcal{K}^N$ la réunion de $\{B\}$ et de la suite NE, $\mathcal{K}^M = \{A, D\}$ et $\mathcal{K}^S$ est la réunion de $\{C\}$ et de la suite SO. On va montrer que $w_I w_{J_i}(\{A, B, C, D\})$ est une configuration (3412) de w, incompressible et de zone centrale ne contenant pas de point de Γ_w, et que

$$\Gamma_w \cap \big(SO_{II}(w) \cup NE_{II}(w)\big) \subseteq \bigcup_{j=1}^{t} SO(x_{-j}, y'_{-j}) \cup \bigcup_{j=1}^{s} NE(x_j - 1, y'_j - 1) \quad (\diamond)$$

avec les mêmes conventions d'écriture que précédemment. A nouveau, on peut remplacer ($\diamond$) par

$$\mathcal{S} \cap \big(SO_{II}(w) \cup NE_{II}(w)\big) \subseteq \bigcup_{j=1}^{t} SO(x_{-j}, y'_{-j}) \cup \bigcup_{j=1}^{s} NE(x_j - 1, y'_j - 1) \quad (\diamond').$$

Le résultat est clair si $\mathcal{K} \cap \mathcal{S}_i = \emptyset$, on suppose donc $\mathcal{K} \cap \mathcal{S}_i \neq \emptyset$. On remarque que l'intersection de chacune des parties $\mathcal{S}_i^S$ et $\mathcal{S}_i^N$ avec $\mathcal{K}$ est contenue dans l'une de $\mathcal{K}^N$, $\mathcal{K}^M$ et $\mathcal{K}^S$.

2.2.1. Supposons pour commencer que $\mathcal{K}$ ne rencontre qu'une seule de $\mathcal{S}_i^S$ et $\mathcal{S}_i^N$. Les deux cas sont symétriques, il suffit donc de traiter par exemple $\mathcal{K} \cap \mathcal{S}_i \subseteq \mathcal{K} \cap \mathcal{S}_i^S$. On suppose d'abord $\mathcal{K} \cap \mathcal{S}_i^S = \mathcal{K}^N \cap \mathcal{S}_i^S$. Alors il est clair que $w_I w_{J_i}(\{A, B, C, D\})$ est une configuration (3412) de w. Par ailleurs, on a $y_A < \delta'$, donc les propriétés voulues concernant les rectangles $MO(w)$, $C(w)$, $ME(w)$, $MS(w)$, et $SO_{II}(w)$ résultent de leur analogue dans Γ_{w_i}. Les abscisses de B et C sont nécessairement contenues dans un même intervalle de la subdivision donnée par les abscisses des points de $\mathcal{S}_i$ (sinon $MN(w_i)$ contiendrait des points de $\mathcal{S}_i$). Il en résulte que $MN(w) \cap \Gamma_w = \emptyset$. Concernant $NE_{II}(w)$, il suffit de montrer que

$$NE_{II}(w) \cap w_I w_{J_i}(\mathcal{S}_i^N) \subseteq \bigcup_{j=1}^{s} NE(x_j - 1, y'_j - 1) \quad (\diamond'').$$

Or on montre que l'on a $x_D < w_i^{-1}(\alpha')$ ou bien qu'il existe $j \in [1, s]$ tel que $x_j < w_i^{-1}(\alpha')$ et $y_j < \delta'$. Dans le premier cas, il vient

$$NE_{II}(w) \cap w_I w_{J_i}(\mathcal{S}_i^N) = \emptyset,$$

et dans le second, on a $y'_j = y_j$ et on obtient

$$NE_{II}(w) \cap w_I w_{J_i}(\mathcal{S}_i^N) \subseteq NE(x_j - 1, y'_j - 1).$$

On a donc établi ($\diamond''$). Cela prouve le résultat voulu dans le cas $\mathcal{K} \cap \mathcal{S}_i = \mathcal{K}^N \cap \mathcal{S}_i^S$. Le cas $\mathcal{K} \cap \mathcal{S}_i = \mathcal{K}^S \cap \mathcal{S}_i^S$, plus simple que celui que nous venons de détailler, est laissé au lecteur.

Le cas $\mathcal{K} \cap \mathcal{S}_i \subseteq \mathcal{K} \cap \mathcal{S}_i^S \subseteq \mathcal{K}^M$ se traite de la même manière que son analogue traité en 2.1.2.

2.2.2. Il reste pour terminer à montrer que $\mathcal{K}$ ne peut pas rencontrer à la fois $\mathcal{S}_i^N$ et $\mathcal{S}_i^S$. On remarque d'abord que si $\mathcal{S}_i^S$ rencontre $\mathcal{K}^N$ ou contient D, alors $\mathcal{S}_i^N \cap \mathcal{K} = \emptyset$. De même, si $\mathcal{S}_i^N$ rencontre $\mathcal{K}^S$ ou contient A, alors $\mathcal{S}_i^S \cap \mathcal{K} = \emptyset$. Ainsi, si $\mathcal{K}$ rencontrait à la fois $\mathcal{S}_i^N$ et $\mathcal{S}_i^S$, on aurait

$$\mathcal{S}_i^S \cap \mathcal{K} \subseteq \{A\} \cup \mathcal{K}^S, \text{ et } \mathcal{S}_i^N \cap \mathcal{K} \subseteq \{D\} \cup \mathcal{K}^N.$$

De plus, on n'a pas simultanément $\mathcal{S}_i^S \cap \mathcal{K} \subseteq \mathcal{K}^S$ et $\mathcal{S}_i^N \cap \mathcal{K} \subseteq \mathcal{K}^N$, car les ordonnées de A et D sont entre celles des points de $\mathcal{K}^S$ et $\mathcal{K}^N$. Les possibilités qui restent sont donc

$$A \in \mathcal{S}_i^S \text{ et } \mathcal{S}_i^N \cap \mathcal{K}^N \neq \emptyset$$

ou, symétriquement,

$$D \in \mathcal{S}_i^N \text{ et } \mathcal{S}_i^S \cap \mathcal{K}^S \neq \emptyset.$$

Mais on montre alors que l'on aurait $(\delta', \alpha')\, v < v$, exclu. Cela termine la preuve de la proposition 4.6. □

Bibliographie

[1] A. Bialynicki-Birula, *On induced actions of algebraic groups*, Ann. Inst. Fourier (Grenoble) **43** (2) (1993), 365-368.

[2] S. Billey, G. Warrington, *Maximal singular loci of Schubert varieties in $SL(n)/B$*, math.AG/0102168.

[3] M. Brion, P. Polo, *Generic singularities of certain Schubert varieties*, Math. Z. **231** (1999), 301-324.

[4] S. Buoncristiano, A. B. Veit, *The intrinsic stratification of a Schubert variety*, Adv. Math. **91** (1) (1992), 1-26.

[5] A. Cortez, *Singularités génériques des variétés de Schubert covexillaires*, Ann. Inst. Fourier (Grenoble) **51** (2) (2001), 375-393.

[6] A. Cortez, *Singularités génériques et quasi-résolutions des variétés de Schubert pour le groupe linéaire*, C. R. Acad. Sci. Paris **333** (2001), 561-566.

[7] V. Deodhar, *Some characterizations of Bruhat ordering on a Coxeter group and determination of the relative Mbius function*, Invent. Math. **39** (1977), no. 2, 187-198.

[8] M. J. Dyer, *Hecke algebras and shellings of Bruhat intervals*, Compositio Math. **89** (1993), no. 1, 91-115.

[9] W. Fulton, *Flags, Schubert polynomials , degeneracy loci, and determinantal formulas*, Duke Math. J. **65** (1992), 381-420.

[10] V. Gasharov, *Sufficiency of Lakshmibai-Sandhya singularity conditions for Schubert varieties*, Compositio Math. **126** (2001), 47-56.

[11] N. Gonciulea, *Singular loci of varieties of complexes, II*, J. Algebra **235** (2) (2001), 547-558.

[12] C. Kassel, A. Lascoux, C. Reutenauer, *The singular locus of a Schubert variety*, preprint, IRMA n°2001-004.

[13] D. Kazhdan, G. Lusztig, *Representations of Coxeter groups and Hecke algebras*, Inv. Math. **53** (1979), 165-184.

[14] G. Kempf, *Algebraic varieties*, London Mathematical Society Lecture Note Series **172**, Cambridge University Press, Cambridge, 1993.

[15] V. Lakshmibai, C. Musili, C. S. Seshadri, *Geometry of G/P. IV. Standard monomial theory for classical types*, Proc. Indian Acad. Sci. Sect. A (Math. Sci.) **88** (1979), no. 4, 279-362.

[16] V. Lakshmibai, B. Sandhya, *Criterion for smoothness of Schubert varieties in $SL(n)/B$*, Proc. Indian Acad. Sci. (Math. Sci.) **100** (1990), 45-52.

[17] V. Lakshmibai, C. S. Seshadri, *Singular locus of a Schubert variety*, Bull. Amer. Math. Soc. **11** (1984), 363-366.

[18] A. Lascoux, M.-P. Schützenberger, *Treillis et bases des groupes de Coxeter*, Electron. J. Combin. **3** (2) (1996) (The Foata Festschrift volume).

[19] L. Manivel, *Fonctions symétriques, polynômes de Schubert et lieux de dégénérescence*, Cours spécialisés **3**, Société Mathématique de France, Paris, 1998.

[20] L. Manivel, *Le lieu singulier des variétés de Schubert*, Int. Math. Res. Notices **16** (2001), 849-871.

[21] L. Manivel, *Generic singularities of Schubert varieties*, math.AG/0105239.

[22] H. Matsumura, *Commutative ring theory*, Cambridge studies in advanced mathematics **8**, Cambridge University Press, 1986.

[23] D. Mumford, *The red book of varieties and schemes*, Lecture notes in mathematics **1358**, Springer, 1999.

[24] P. Polo, *Construction of arbitrary Kazhdan-Lusztig polynomials in symmetric groups*, Represent. Theory **3** (1999), 90-104.

[25] S. Ramanan, A. Ramanathan, *Projective normality of flag varieties and Schubert varieties*, Invent. Math. **79** (1985), 217-224.

[26] K. Ryan, *On Schubert varieties in the flag manifold of* $SL(n, \mathbb{C})$, Math. Ann. **276** (1987),205-224.

[27] J.-P. Serre, *Espaces fibrés algébriques*, Anneaux de Chow et applications, Séminaire Chevalley, E.N.S. Paris, 1958.